

Abordajes moleculares en la **conservación** de peces anuales Sudamericanos



Dra. Verónica Gutiérrez

Departamento de Biodiversidad y Genética – IIBCE - MEC Lab. Biología Molecular de Organismos Acuáticos – Fac. Ciencias – UdelaR

Contenido

- 1. Introducción a los Peces Anuales
- 2. Peces Anuales Sudamericanos
- 3. Abordajes genéticos
- 4. Abordajes genómicos
- 5. Abordajes transcriptómicos

1. Introducción a los Peces Anuales

¿Qué son los peces anuales?

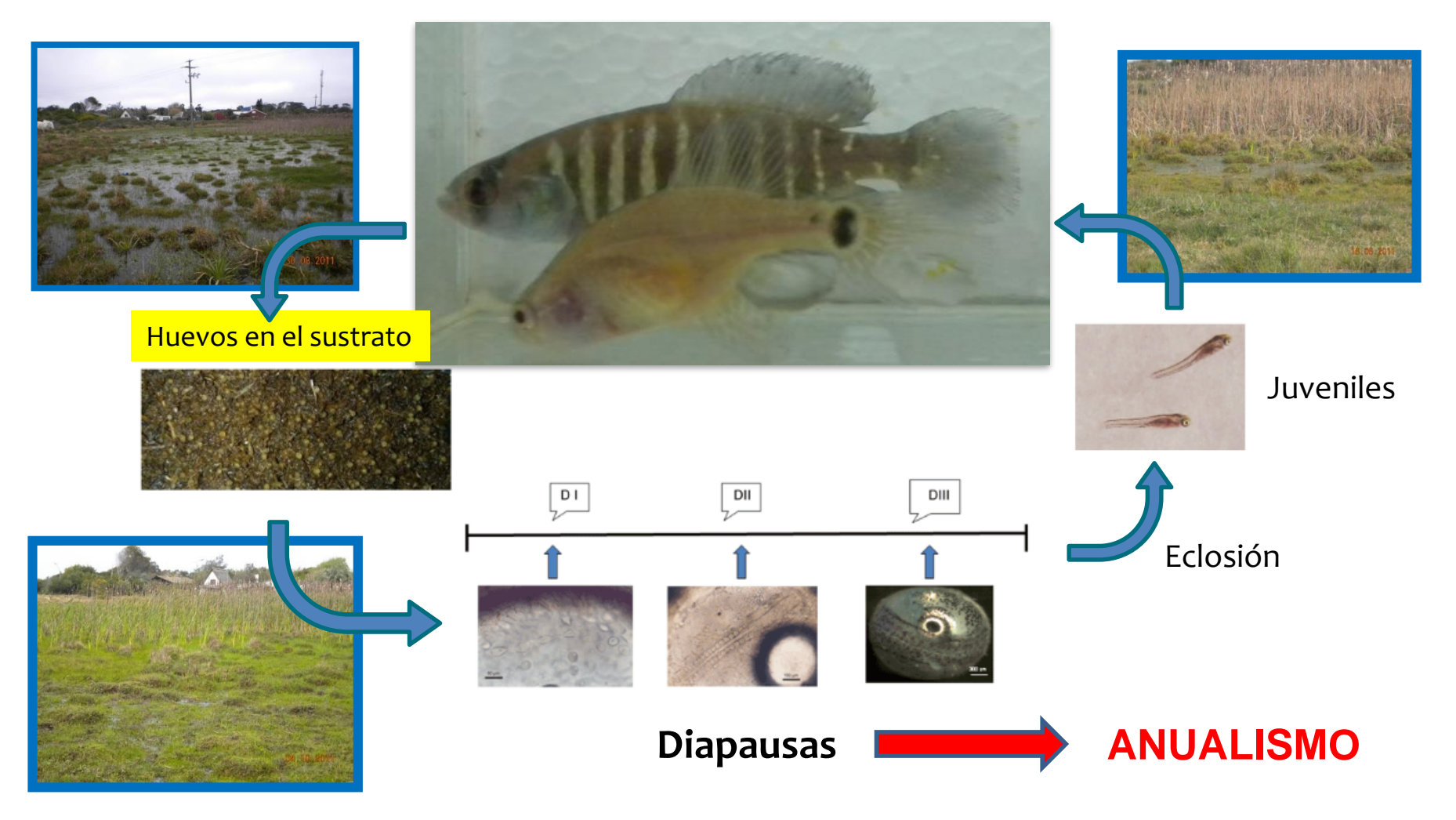


Garcialebias charrua (macho adulto)



Garcialebias charrua (macho y hembra adultos)

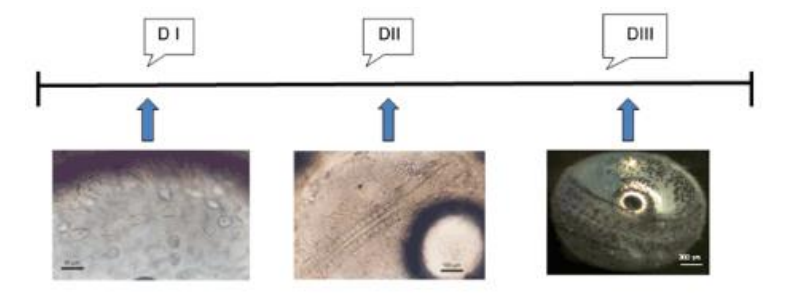
1. Introducción a los Peces Anuales: Ciclo de vida (< 1 año)



Fotos: charco ubicado en el balneario "La Coronilla" (Dpto. Rocha, Uruguay)

1. Introducción a los Peces Anuales: <u>Diapausas</u>

- Estado de desarrollo suspendido.
- Es una adaptación evolutiva clave que les permite sobrevivir en hábitats temporales.
- Los peces anuales pueden experimentar hasta 3 fases de diapausa:
 - Son de duración variable
 - Pueden ocurrir o no



Diapausa I:

- Poco después de la fertilización.
- En las primeras divisiones celulares del embrión.
- En algunas especies, es opcional.

Diapausa II:

- Fase más avanzada del desarrollo (embrión con estructura más definida)
- Es la fase más importante y prolongada,
- Se mantiene hasta que las condiciones ambientales vuelven a ser favorables.

Diapausa III:

- Justo antes de la eclosión del embrión.
- Puede ayudar a sincronizar la eclosión con la llegada de lluvias.
- Es más común en especies que habitan ambientes extremadamente impredecibles.

1. Introducción a los Peces Anuales: Hábitat (charcos temporales)

Charcos temporales de agua dulce



Charco ubicado en el balneario "La Coronilla" (Dpto. Rocha, Uruguay)

Los peces anuales son organismos extremófilos

1. Introducción a los Peces Anuales: Hábitat (charcos temporales)



Son ecosistemas únicos y dinámicos

Son extremadamente frágiles

CARACTERÍSTICAS

- Estacionales (lleno / seco)
- Baja profundidad
- Alta productividad biológica (nutrientes)
- Aislamiento geográfico
- Condiciones variables (Temp, O₂, salinidad)

1. Introducción a los Peces Anuales: Hábitat (charcos temporales)

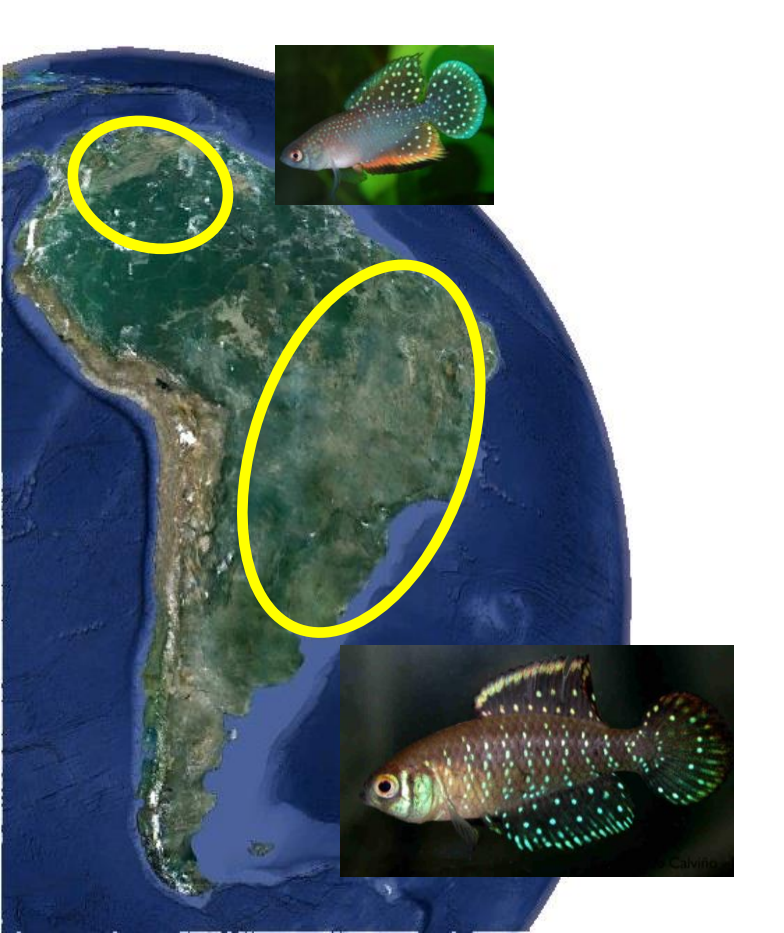


FACTORES de AMENAZA

- Cambio climático (sequías prolongadas)
- Contaminación (agroquímicos)
- Especies invasoras
- Pérdida de hábitats (agricultura, ganadería o urbanización)



- Familia Rivulidae
- Endémica de Sudamérica
- Géneros: 49
- Especies: 458 (no todas anuales)



Géneros de peces anuales sudamericanos:

- 1. (Austrolebias Argentina, Uruguay, Brasil, Paraguay y Bolivia)
- 2. Cynopoecilus (Sur de Brasil y **Uruguay**)
- 3. Austrofundulus (Venezuela y Colombia)
- 4. Hypsolebias (Brasil)
- 5. Neofundulus (Argentina, Brasil, Bolivia y Paraguay)
- 6. Papiliolebias (Argentina)
- 7. Plesiolebias (Brasil y Bolivia)
- 8. Pterolebias (Argentina)
- 9. Simpsonichthys (Brasil)
- 10. Stenolebias (Brasil)
- 11. Trigonectes (Argentina, Brasil, Bolivia y Paraguay)

2023

Zoological Journal of the Linnean Society, 2023, XX, 1-30 https://doi.org/10.1093/zoolinnean/zlad032 Advance access publication 10 July 2023 Original Article

OXFORD

Original Article

From the mud to the tree: phylogeny of Austrolebias killifishes, new generic structure and description of a new species (Cyprinodontiformes: Rivulidae)

Felipe Alonso^{1,2,‡}, Guillermo Enrique Terán^{2,3,‡}, D, Wilson Sebastián Serra Alanís^{2,4,5,†}, Pablo Calviño², Martin Miguel Montes^{2,6} Ignacio Daniel García^{2,7}, Jorge Adrián Barneche^{2,6}, Adriana Almirón^{8,0}, Liliana Ciotek^{9,0}, Pablo Giorgis ^{9,0}, Jorge Casciotta ^{8,0}

Instituto de Bio y Geociencias del NOA (IBIGEO), National Scientific and Technical Research Council (CONICET)-UNSa, Av. 9 de Julio 14, A4405BBA Rosario de Lerma, Salta, Argentina

²Killifish Foundation, La Plata, Buenos Aires Province, Argentina ³Fundación Miguel Lillo – Unidad Ejecutora Lillo (CONICET), San Miguel de Tucumán, Tucumán, Tucuman Province, Argentina *Sección Ictiología, Departamento de Zoología, Museo Nacional de Historia Natural, Montevideo, Uruguay ⁵Centro Universitario Regional del Este (CURE) Sede Rocha, Rocha, Uruguay

⁶Centro de Estudios Parasitológicos y de Vectores - [CCT-CONICET - La Plata] Centro Científico Tecnológico Conicet, La Plata - [Conicet] Consejo Nacional De Investigaciones Científicas y Técnicas, La Plata, Buenos Aires Province, Argentina

Instituto de Limnología 'Dr. Raúl Ringuelet' (ILPLA)-UNLP-CONICET, La Plata, Buenos Aires Province, Argentina ⁸Universidad Nacional de La Plata, Facultad de Ciencias Naturales y Museo, División Zoología Vertebrados, La Plata, Buenos Aires Province,

9Administración de Parques Nacionales, Parque Nacional Campos del Tuyú (7103), General Lavalle, Buenos Aires Province, Argentina

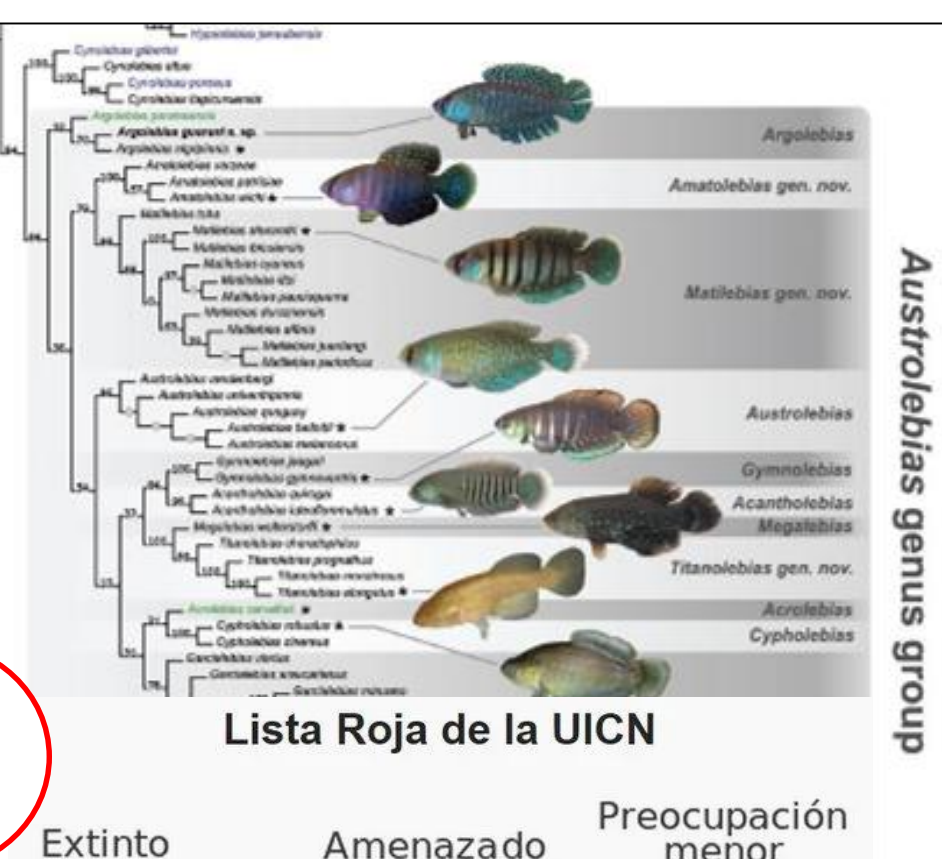
Grupo de géneros Austrolebias

~ 61 especies 11 géneros



Figure 1. Phylogenetic

mitochondrial markets under implied weightin data analysed for the ta



menor

DUT

10 TE

O P

Garcialebias charrua

Los machos:

- Presentan colores brillantes
- Generalmente, son de mayor tamaño que las hembras

Las hembras:

- Colores más opaco (patrones marrones o grises)
- En algunas especies, presentan manchas dispersas

Dimorfismo sexual

Argolebias nigripinnis

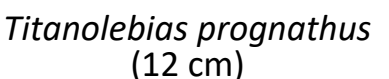


Foto tomada de Alonso et al. (2023)

Diversidad morfológica

Gran tamaño







Titanolebias elongatus (22 cm)

Titanolebias elongatus:

- Endémico de la porción sur de la región pampeana (Argentina)
- Es el pez anual más grande del mundo

Tamaño medio



Cypholebias vazferreirai (10 cm)



Matilebias alexandri (9 cm)

Tamaño pequeño



Matilebias affinis (5 cm)



Garcialebias arachan (4.4 cm)

Varias especies son **simpátricas** y **sintópicas** o habitan áreas adyacentes.



Garcialebias charrua

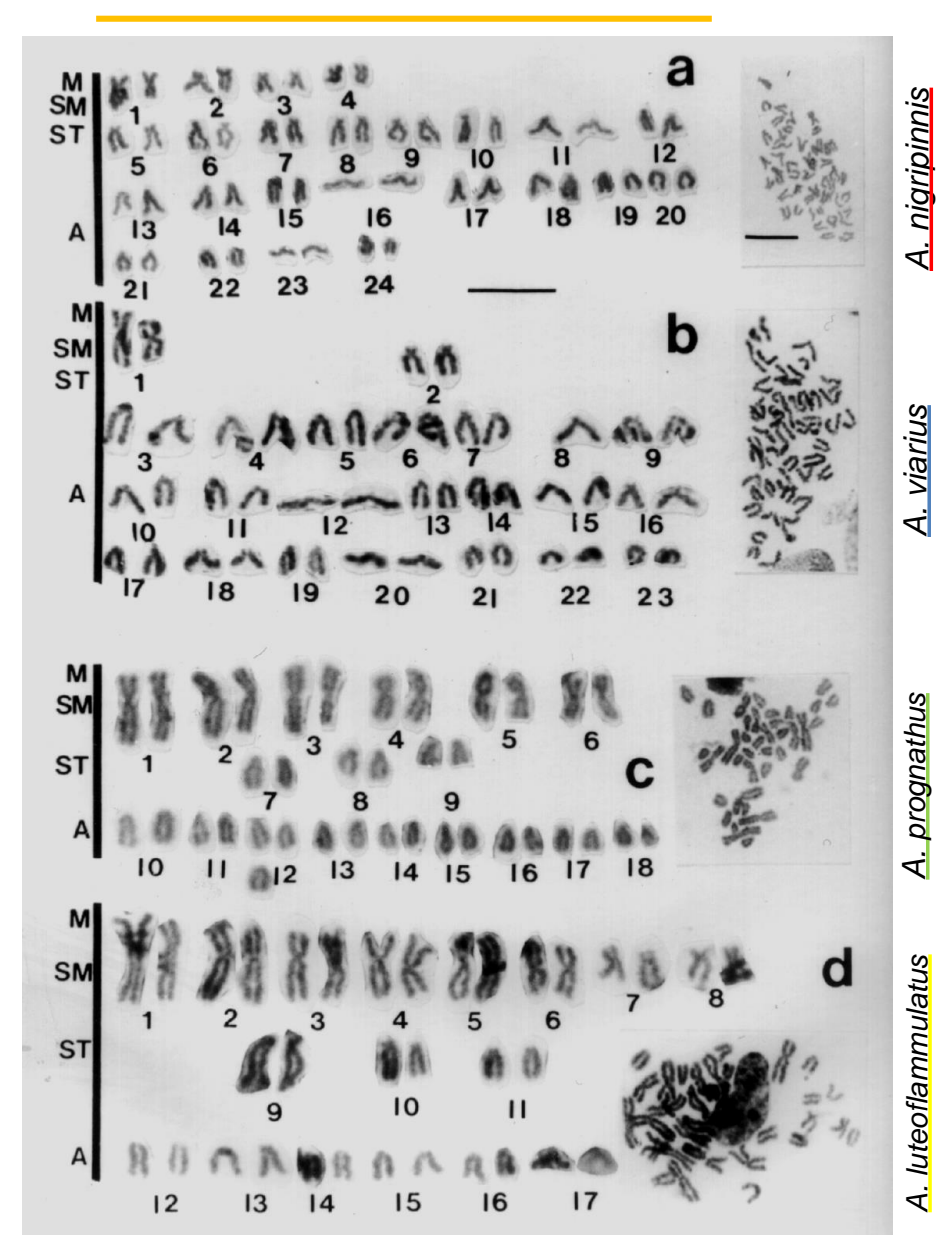


2 charcos ubicados en el balneario "La Coronilla" (Dpto. Rocha) separados por la calle principal.



Acantholebias luteoflammulatus





Variabilidad cariotípica

García et al. (1993, 1995)

Intra-específica

Austrolebias affinis

Inter-específica

Austrolebias luteoflammulatus

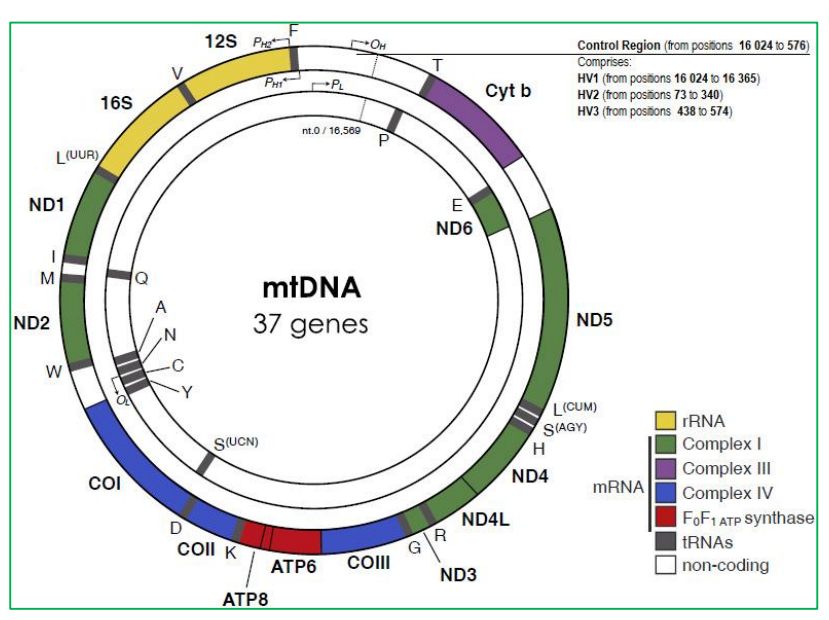
$$2n = 34 y NF = 48$$

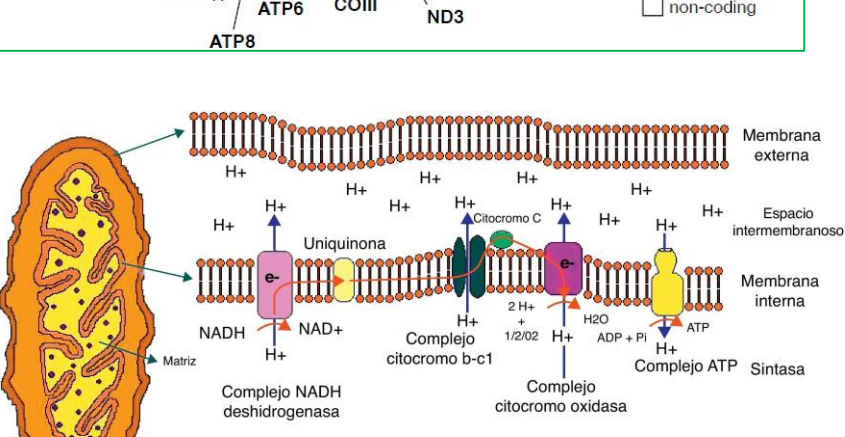
Austrolebias nigripinnis

$$2n = 48 y NF = 80$$

La evolución cromosómica puede haber jugado un papel importante en la **diversificación del género**

ADN mitocondrial (ADNmt)





1990 - 2000

- Las secuencias del gen citocromo b (cyt-b) contienen señales filogenéticas en muchos niveles taxonómicos diferentes en numerosos taxa (incluidos los peces)
- Las secuencias del cyt-b se han utilizado ampliamente como un «reloj molecular» para estimar la cronología de la especiación en varios taxa.

Se sabía relativamente poco sobre las relaciones entre las especies de *Cynolebias*

Cynolebias → *Austrolebias* → grupo de géneros *Austrolebias*



Zoological Journal of the Linnean Society (2000), 129: 93–110. With 6 figures
doi:10.1006/zjls.1999.0202, available online at http://www.idealibrary.com on IDEAL®



High levels of mitochondrial cytochrome b divergence in annual killifishes of the genus Cynolebias (Cyprinodontiformes, Rivulidae)

GRACIELA GARCÍA $^{1*},$ GABRIELA WLASIUK 1,2 AND ENRIQUE P. LESSA 2

Publicaron un análisis inicial de las relaciones filogenéticas dentro del género *Cynolebias*

- Individuos de 13 especies diferentes
- Charcos temporales de Uruguay y el sur de Brasil
- Gen cyt-b (324 pb)

Extracción de ADN | PCR en tiempo final | Secuenciación

Las secuencias se obtuvieron mediante **secuenciación directa de productos de PCR** con cebadores marcados en el extremo (³³P-dATP) (Método Sanger)

Análisis de las secuencias

- Alineamiento
- Estimaciones pareadas de la divergencia de las secuencias mediante el algoritmo de Kimura dos-parámetros (1980), implementado en MEGA versión 1.01 (Kumar et al., 1993).

Análisis filogenético

Análisis filogenéticos: (1) unión de vecinos (NJ); (2) Máxima Parsimonia.

¹ Sección Genética Evolutiva and ²Laboratorio de Evolución, Facultad de Ciencias, Iguá 4225, Montevideo 11400, Uruguay



Análisis de las secuencias (cyt-b)



- Las secuencias muestran una variación sustancial.
- Entre las 14 secuencias de Cynolebias: 140/324 = variables (~43%)
- 72 % de las sustituciones se producen en la tercera base de los codones
- No hay delectiones ni inserctiones
- Las secuencias se traducen correctamente a una cadena de 108 aminoácidos (20 aminoácidos son variables entre las secuencias)

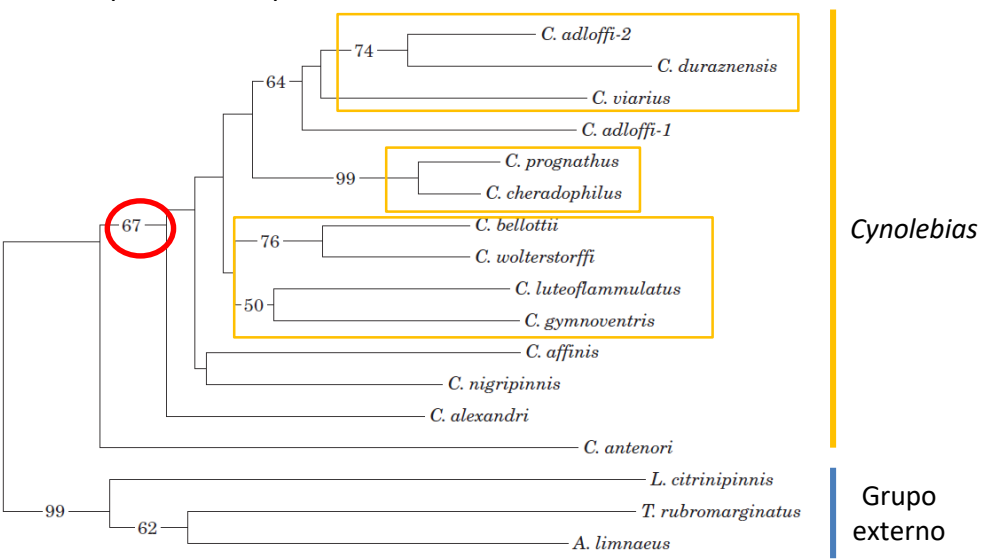


Análisis filogenéticos (cyt-b)

Unión de vecinos (NJ)

Unidades monofiléticas

Bootstrap con 100 réplicas



Scale: each - is approximately equal to the distance of 0.003204

Figure 3. Phylogenetic tree constructed with the Neighbour-joining method from Kimura two-parameter distances of 14 ingroup taxa of the genus *Cynolebias* and three Rivulidae outgroups (*Leptolebias*, *Austrofundulus*, *Trigonecles*). Bootstrap values above 50% are shown on the relevant branches.

Máxima Parsimonia (MP)

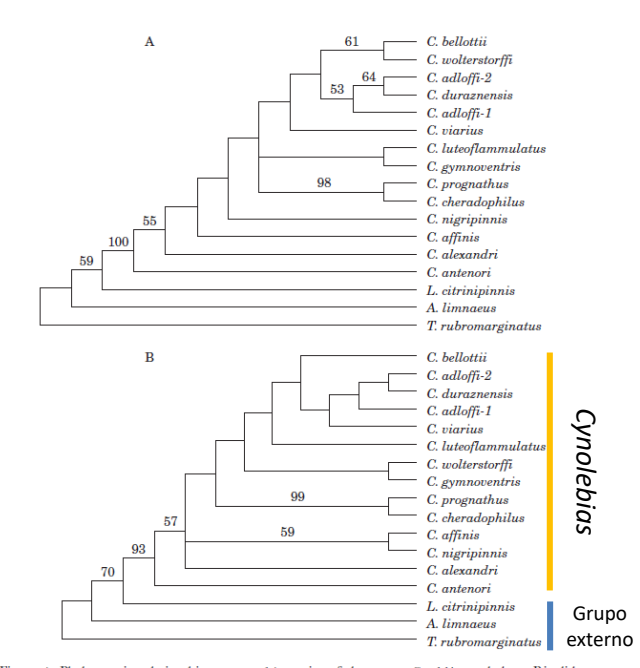


Figure 4. Phylogenetic relationships among 14 species of the genus Cynolobias and three Rivulidae outgroups (Lepholobias, Austrofinadulus, Trigonetels), as inferred by parsimony heuristic searches with different weighting schemes. A, unweighted analysis: a most parsimonious consensus of two trees, 516 steps. B, weighted analysis: consensus of two shorter trees of 1234 steps. Bootstrap values above 50% are shown on the corresponding branches.



Biological Journal of the Linnean Society, 2002, 76, 49–59. With 6 figures

Mitochondrial genes: signals and noise in the phylogenetic reconstruction of the annual killifish genus *Cynolebias* (Cyprinodontiformes, Rivulidae)

G. GARCÍA^{1*}, F. ALVAREZ-VALIN² and N. GOMEZ³

Reconstrucción filogenética con 3 genes mitocondriales (cyt-b; ARNr 12S; ARNr 16S)

En 1998...

PHYLOGENY AND CLASSIFICATION OF RIVULIDAE REVISITED:
ORIGIN AND EVOLUTION OF ANNUALISM AND MINIATURIZATION IN
RIVULID FISHES (CYPRINODONTIFORMES: APLOCHEILOIDEI)

Wilson J.E.M. Costa

Lab. Ictiologia Geral e Aplicada, Departamento de Zoologia, Universidade Federal do Rio de Janeiro, Cidade Universitária, Cx. Postal 68049, 21944-970 Rio de Janeiro RJ, BRAZIL. E-mail: wcosta@acd.ufrj.br

Basándose en el análisis morfológico filogenético, propuso dos nuevos géneros, *Megalebias* y *Austrolebias*, que abarcan 29 especies previamente clasificadas como *Cynolebias*

¹Sección Genética Evolutiva and

²Biomatemáticas, Facultad de Ciencias, Iguá 4225, CP 11400 Montevideo, Uruguay

³Naos Laboratories, Smithsonian Tropical Research Institute, Republic of Panama



- TOTAL= 54 especímenes
- 19 especies descritas y no descritas de Cynolebias (3 Megalebias y 16 Austrolebias)

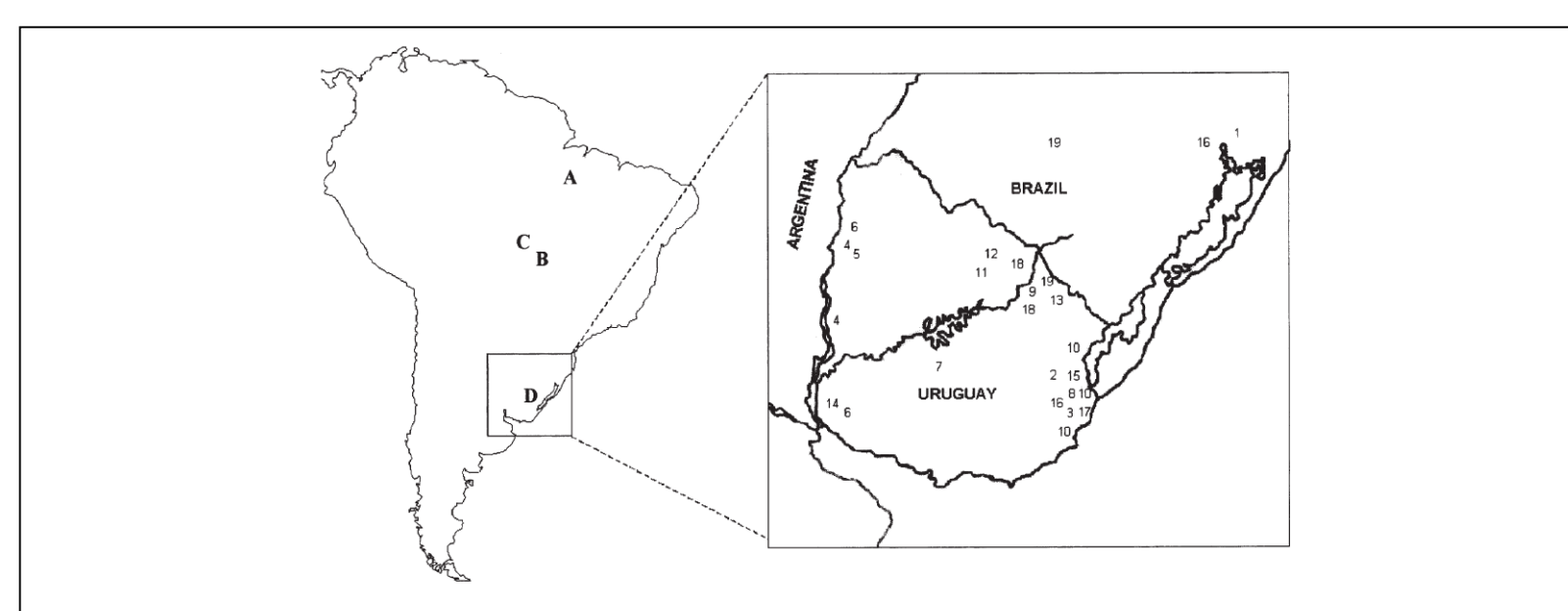


Figure 1. Collecting sites of Cynolebias species and the Rivulidae out-group genera. 1, C. adloffi; 2, C. cf.adloffi; 3, C. viarius; 4, C. nigripinnis; 5, C. alexandri; 6, C. bellottii; 7, C. duraznensis; 8, C. gymnoventris; 9, C. vazferreirai; 10, C. luteoflammulatus; 11, C. affinis; 12, C. melanoorus; 13, C. sp.GG-661; 14, C. cinereus; 15, C. prognathus; 16, C. wolterstorffi; 17, C. cheradophilus; 18, C. nioni; 19, C. cyaneus; A, Pterolebias longipinnis; B, Trigonectes balzanii; C, Plesiolebias glaucopterus; D, Cynopoecilus melanotaenia.



Análisis filogenéticos (cyt-b + ARNr 12S + ARNr 16S)

Unión de vecinos (NJ) + Máxima Verosimilitud (ML)

Bootstrap con 500 réplicas

2 linajes monofiléticos principales

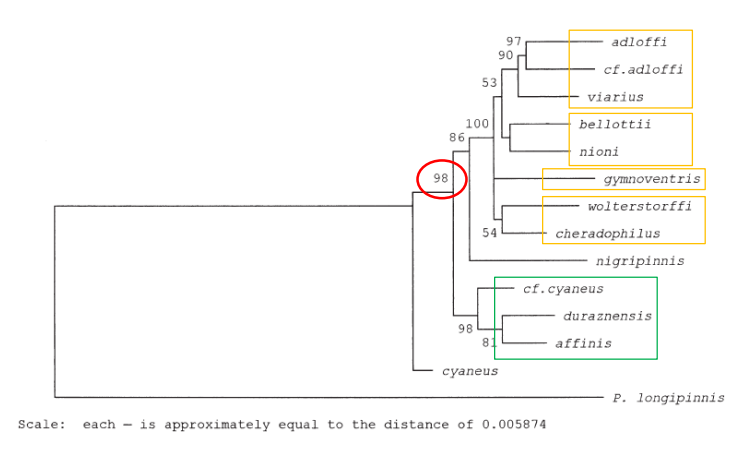
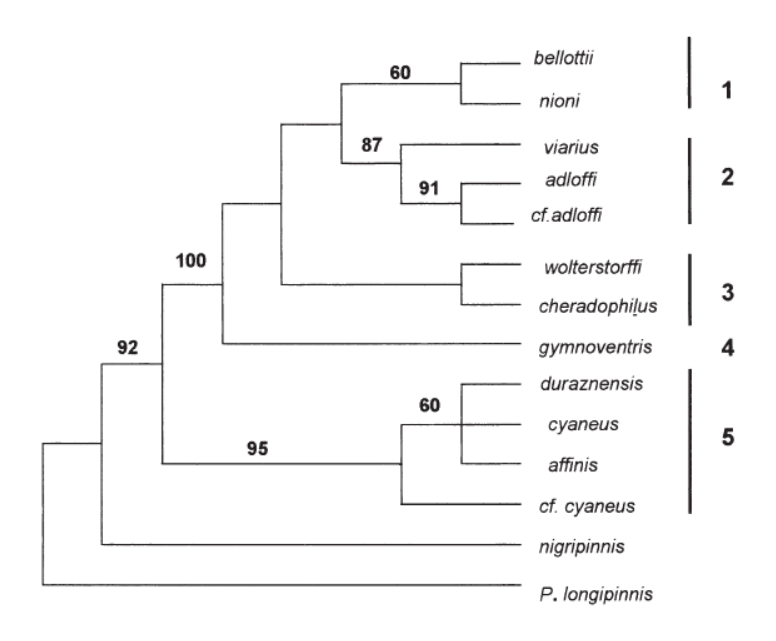


Figure 4. Rooted phylogenetic tree built by the neighbour-joining method from the pairwise distances estimat the Kimura two-parameter model, using Ts + Tv substitutions in multisequence dataset with 13 ingroup taxa of tl *Cynolebias. Pterolebias longipinnis* was used as an out-group Rivulidae genus. Bootstrap values above 50% are s the relevant nodes.

Máxima Parsimonia (MP)



Topologías similares!!

Figure 5. Phylogenetic relationships among 13 species of the genus *Cynolebias*, and one Rivulidae out-group taxon (*Pterolebias longipinnis*), revealed by heuristic searches in unweighted analysis: a most parsimonious consensus (50% majority rule) between two shortest trees of 2035 steps. Bootstrap values above 50% are shown on the relevant nodes.



Análisis filogenéticos (SOLO cyt-b)

RELACIONES DENTRO DE LA FAMILIA RIVULIDAE

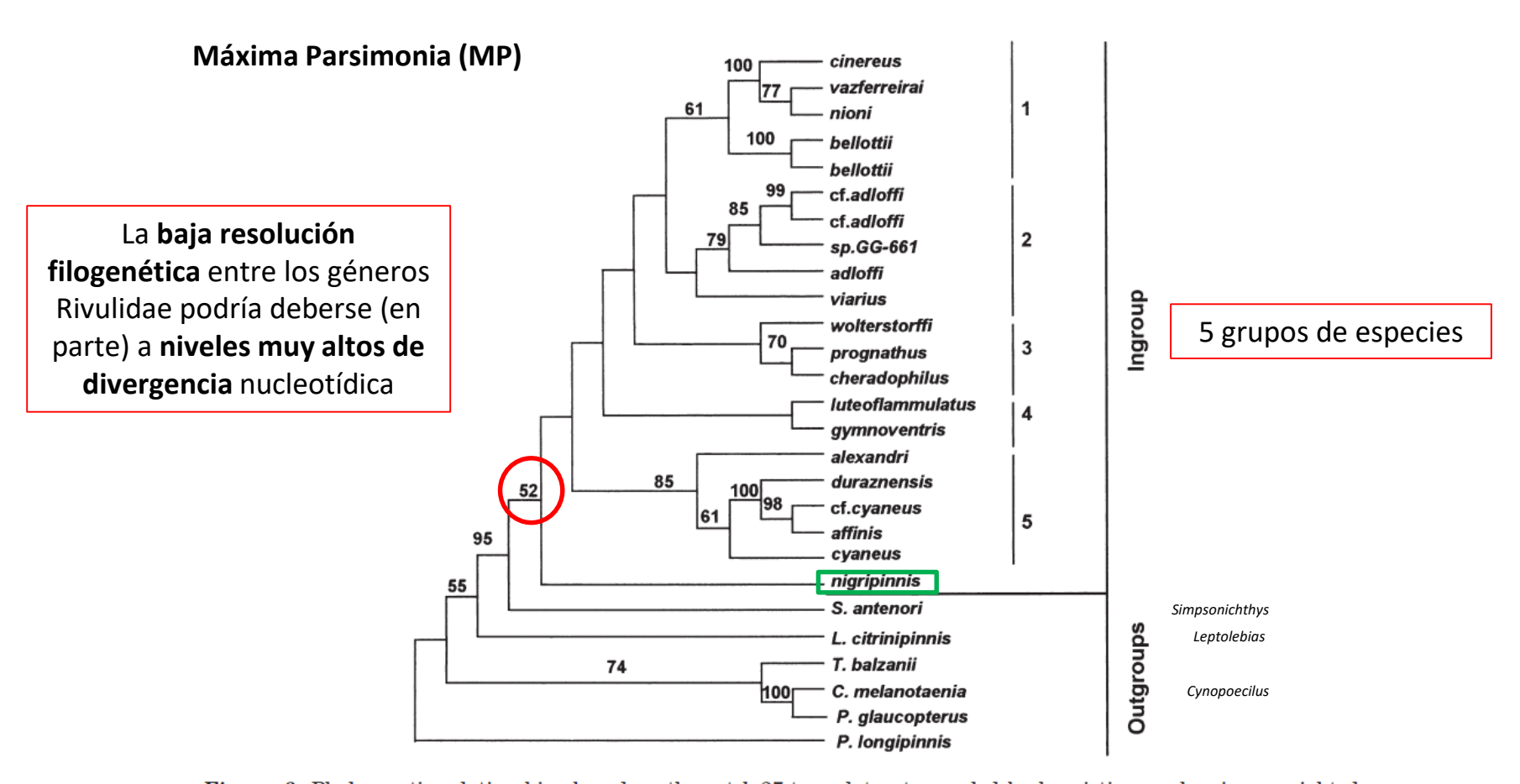


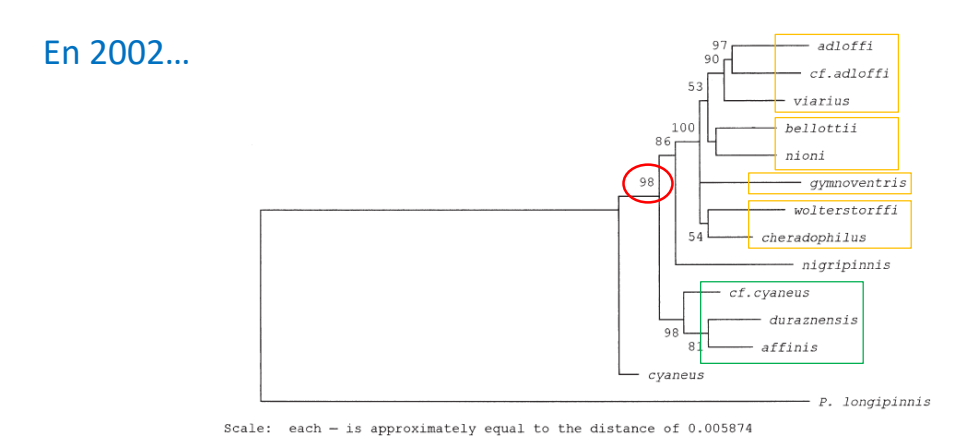
Figure 6. Phylogenetic relationships based on the cyt-b 27-taxa dataset revealed by heuristic searches in unweighted analysis: one shortest tree, L = 1698, CI = 0.548, RI = 0.574. Bootstrap values above 50% are shown on the relevant nodes.



Diferenciación genética entre especies en el sitio de Reserva de Biosfera de Uruguay (Bañados del Este) Environmental Biology of Fishes **70:** 247–256, 2004. © 2004 Kluwer Academic Publishers. Printed in the Netherlands.

Genetic differentiation among annual fishes of the genus *Cynolebias* (Cyprinodontiformes, Rivuluidae) in a Biosphere Reserve site from Uruguay

Graciela García, Santiago Claramunt & Ana Inés Lalanne Sección Genética Evolutiva, Facultad de Ciencias, UDELAR, Iguá 4225, CP 11400, Montevideo, Uruguay (e-mail: ggarcia@fcien.edu.uy)



Clado bien consolidado compuesto por tres taxones distribuidos parapátricamente en el sureste de Uruguay:

- Cynolebias adloffi (Porto Alegre, Brasil)
- C. cf. adloffi
- Cynolebias viarius

Figure 4. Rooted phylogenetic tree built by the neighbour-joining method from the pairwise distances estimated using the Kimura two-parameter model, using Ts + Tv substitutions in multisequence dataset with 13 ingroup taxa of the genus *Cynolebias. Pterolebias longipinnis* was used as an out-group Rivulidae genus. Bootstrap values above 50% are shown on the relevant nodes.







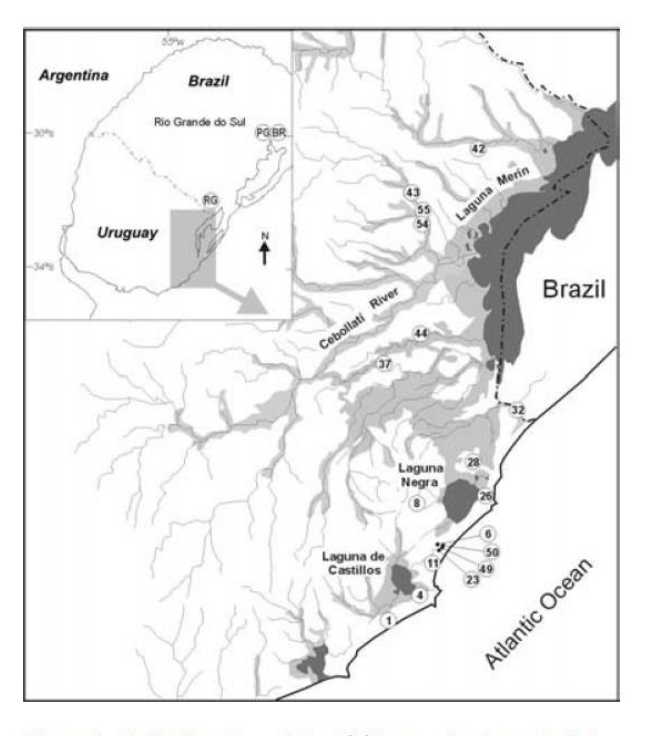


Figure 1. Collecting sites of Cynolebias species from 'Bañados del Este' Biosphere Reserve in southeastern Uruguay. Numbers in circles refers to the pond's number mentioned in the text. The localities for each taxon and group are as follow. Goup 1, C. viarius: ponds no.1, 4, 11, 23 and 49. Group 2, C. adloffi from Porto Alegre city in Rio Grande do Sul, Brazil: PG ('Puente Gravataf') and BR ('BR 290'). Group 3, C. cf. adloffi from southern 'Bañados del Este': ponds no. 6, 8, 26, 28, 32, 37, 44 and 50. Group 4, C. cf. adloffi from northern 'Bañados del Este': ponds no. 54, 55, 43 and 42. C. nigrofasciatus at Rio Grande do Sul near the Uruguayan frontier: pond RG.

20 charcos

- C. cf. adloffi
- Cynolebias viarius
 C. adloffi (Porto Alegre) DONADOS



• **RAPD**: 18 cebadores y 6 de ellos (OPA01, 04, 10, 15, 18 y 19) mostraron patrones de bandas claros.

Análisis de datos

- Matriz de distancias
- Fenograma UPGMA (Unweighted Pair Group Method with Arithmetic Mean)
- Análisis de escalamiento multidimensional no métrico (MDS).
- AMOVA: cada taxón (C. viarius, C. cf. adloffi y C. adloffi) se asignó a diferentes grupos y subregiones



Figure 1. Collecting sites of Cynolebias species from 'Bañados del Este' Biosphere Reserve in southeastern Uruguay. Numbers in circles refers to the pond's number mentioned in the text. The localities for each taxon and group are as follow. Goup 1, C. viarius: ponds no.1, 4, 11, 23 and 49. Group 2, C. adloffi from Porto Alegre city in Rio Grande do Sul, Brazil: PG ('Puente Gravataf') and BR ('BR 290'). Group 3, C. cf. adloffi from southern 'Bañados del Este': ponds no. 6, 8, 26, 28, 32, 37, 44 and 50. Group 4, C. cf. adloffi from northern 'Bañados del Este': ponds no. 54, 55, 43 and 42. C. nigrofasciatus at Rio Grande do Sul near the Uruguayan frontier: pond RG.



RAPD

- 54 individuos
- 61 bandas claramente polimórficas
- Ningún individuo de la muestra fue idéntico a otro

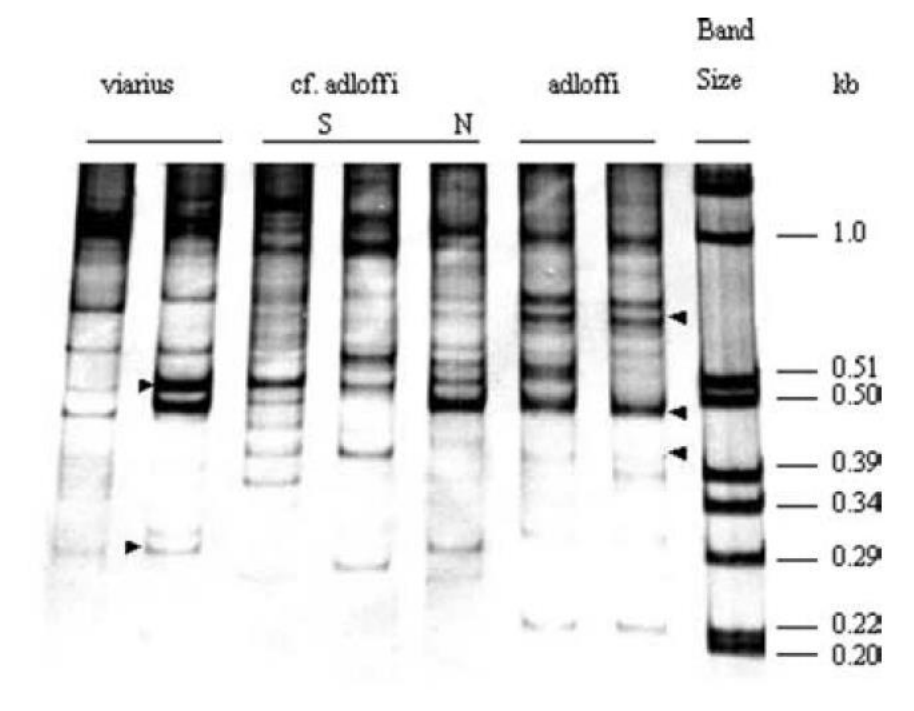


Figure 2. Electrophoretogram of one typical dominant RAPD products obtained from the OPA-15 primer in individuals belonging to three taxa analyzed. Left arrowheads indicate the variable bands shared by individuals of *C. viarius* and *C. cf. adloffi* (from N and S) Right arrowheads indicate the variable bands shared by individuals of *C. adloffi* and *C. cf. adloffi*. Lane 8 shows the band profile of the molecular weight marker, 1 kb DNA ladder.



Fenograma UPGMA

(Unweighted Pair Group Method with Arithmetic Mean)

3 grupos principales:

C. viarius (1)

C. adloffi (PA) (2)

C. cf. adloffi (3 y 4)

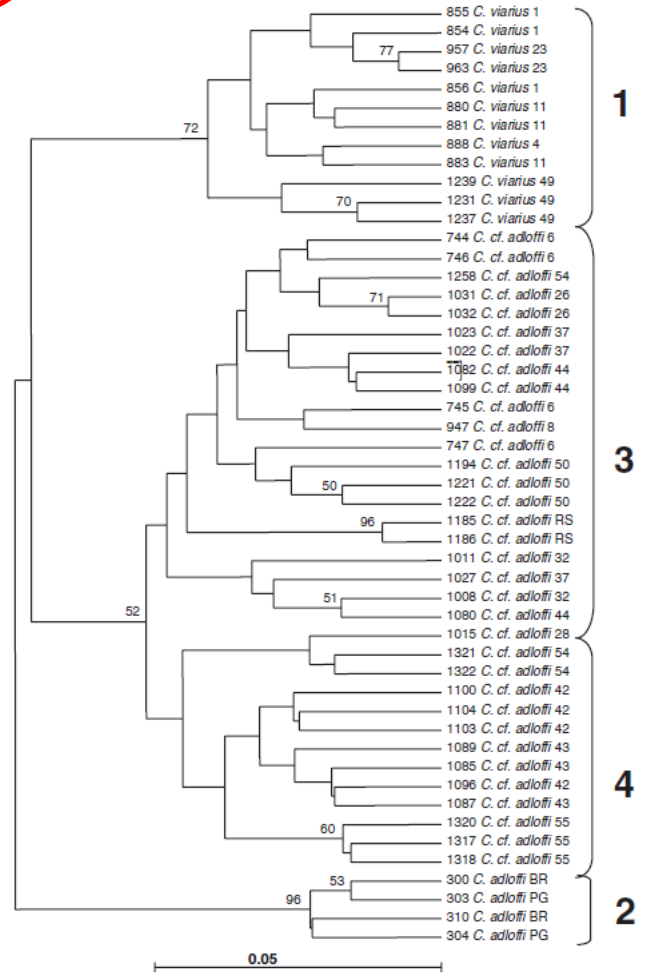


Figure 4. UPGMA phenogram of Nei and Li (1979) genetic distances for 50 individuals of *C. viarius* and *C. cf. adloffi* from 'Bañados del Este' (Uruguay) and *C. adloffi* and *C. nigrofasciatus* from Rio Grande do Sul (Brazil). Number above branches are bootstrap values greater than 50%. Each individual is identified in the tree by its catalog number, followed by the corresponding taxon and the number of the pond as shown in Figure 1.



Complejo de especies

Cynolebias adloffi del sitio de Reserva de Biosfera de Uruguay (Bañados del Este) © 2006 The Author Journal compilation © 2006 Blackwell Verlag, Berlin Accepted on 22 September 2005 JZS doi: 10.1111/j.1439-0469.2005.00346.x

Sección Genética Evolutiva, Facultad de Ciencias, UDELAR, Montevideo, Uruguay

Multiple simultaneous speciation in killifishes of the *Cynolebias adloffi* species complex (Cyprinodontiformes, Rivulidae) from phylogeography and chromosome data

G. GARCÍA

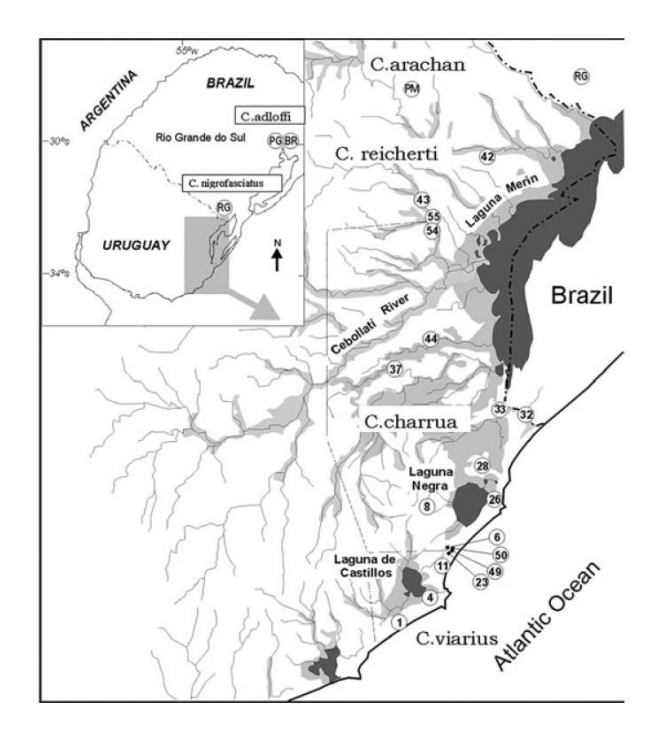


Fig. 1. Collecting sites of Cynolebias species in the 'Bañados del Este' Biosphere Reserve Site (Insert: grey-shaded rectangular area) in Uruguay, the Atlantic southeastern wetlands. In the map the grey-shaded areas around rivers and coastal lagoons in the detailed map correspond to the Atlantic coastal wetlands. Numbers in circles refer to the pond's (CH) number mentioned in the text. The Uruguayan localities for each taxon are as follows: C. viarius, ponds 1, 4, 11, 23 and 49; C. charrua, ponds 6, 8, 26, 28, 32, 33, 37, 44, 50 and 54 from southern 'Bañados del Este'. Rocha; C. reicherti, ponds 42, 43 and 55 from northern 'Bañados del Este', Rocha; C. arachan, pond PM ('Parque Municipal Melo') Cerro Largo from northeastern Uruguay. The Brazilian sites for each taxon are as follows: C. nigrofasciatus, pond RG Rio Grande do Sul, close to Uruguayan border; C. adloffi ponds PG ('Puente Gravatai') and BR ('BR 290') Porto Alegre city, Rio Grande do Sul

Cynolebias charrua, ha sido considerado como un complejo de intergradación de poblaciones entre C. adloffi y C. viarius al mostrar altos niveles de variabilidad morfológica.

- Total de 58 individuos
- 22 charcos

Especies:

- C. viarius
- C. reicherti
- C. arachan
- C. charrua
- C. adloffi (RG, Brasil)
- C. nigrofasciatus (RG, Brasil)



Máxima Parsimonia (MP)

Fig. 2. Strict consensus of 74 258 most parsimonious trees (length = 1056) generated with 63 cyt b sequences belonging to individuals of C. viarius, C. charrua, C. reicherti and C. arachan from 'Bañados del Este' (Uruguay); C. adloffi and C. nigrofasciatus from Rio Grande do Sul (Brazil) and taxa of the C. bellotti complex from western and northeastern Uruguay. Number above branches is bootstrap values grater than 50%. Each individual of the C. adloffi species complex and C. viarius is identified in the tree by its catalogue number, followed by the corresponding number of the pond as shown in Fig. 1. Numbers of the corresponding haplotype have been included in brackets

Máxima Verosimilitud (ML)

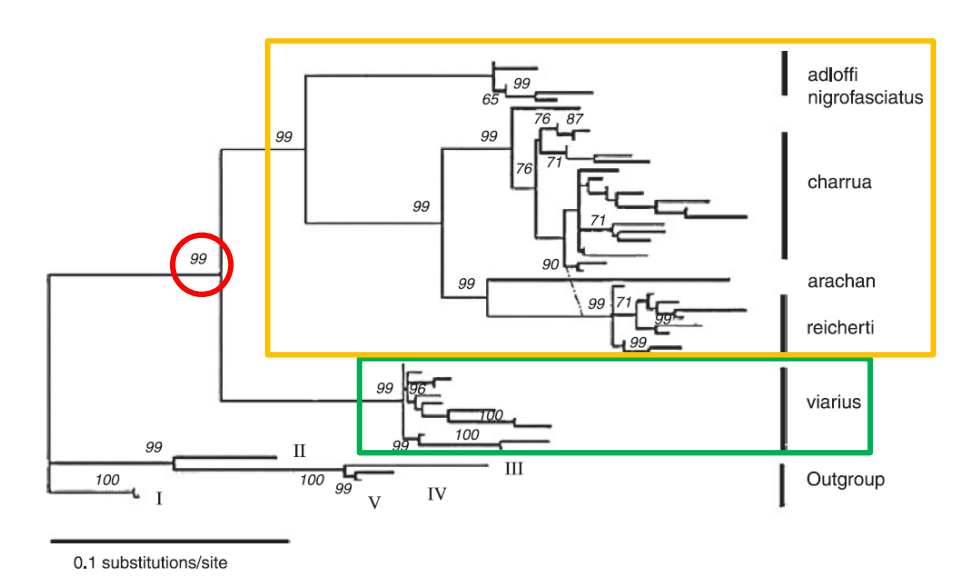


Fig. 3. Maximum likelihood analyses [general time-reversible model with gamma correction (GTR + G + I)], based on cyt b haplotypes of the C. adioffi species complex, C. viarius and the outgroup composed by taxa belonging to the C. bellottii complex; (I) C. bellottii from western Uruguay, (II) C. melanoorus from northeastern Uruguay, (III) C. cinereus from southwestern Uruguay, (IV) C. nioni and (V) C. vazferreirai from northeastern Uruguay. Numbers above the branches represent values from Bayesian inference obtained with the MRBAYES program. They represent the posterior probability that the clade is true. Reticulate events are indicated by dashed lines

C. viarius se consolida como el taxón hermano y basal del complejo de especies C. adloffi



na t	11	4 61		AA	101	AR O	0 4	90	22
Vã s	3	9 B 1	6	0-0	8	-	0 11		13
00 O	9 1	D D	B 01	00	VO	CA	DA	4	. 66
14 1	15 1	6 1		19	20	21	22	23	24
41	11		_					-	_
1	2								
IR.	AA	10 1	10 40	420		60	ne e	2	
3	4	5	6 7	8	9 10	11	12	13	
3 0	117	23	60	69.0	A DI		60,		
14	15	16	17	18 19	20	21	22	23	24
44 8	B 4								
1	2	3							
00 9	P A	e 🛆	00			20	20	90	
9 0 9	D 0		A 9		00	Q Q	Q Q	40 (14
9 -	-					30	_	000	14
900	5 6 0 0.6	; 9				30	_	000	14
9 ₄ 0 9	5 6 0 00 6 17	; 9	7 E	9 A	10 0	11 ••• (12	13	14
15 10 10 10 10 10 10 10 10 10 10 10 10 10	5 6 0 00 6 17	B 0.0	7 E	9 A	10 0	11 ••• (12	13	14
15 10 B	5 6 0 00 6 17	18	7 E	9 A	10 0	11 ••• (12	13	14
15 10	5 6 0 00 6 17	18	7 E	9 20	10	11 ••• (12	13	14
15 10	5 6 0 00 6 17	18 18 4	7 8 2 8 4 19	9 20	10	11 22	12 23	13 24	14

Laguna Merín

(a)
$$2n = 48$$
, **NF = 50**, (M–SM) = 2, (ST–A) = 46

(b)
$$2n = 48$$
, **NF = 52**, (M–SM) = 4, (ST–A) = 44

(c)
$$2n = 48$$
, **NF = 54**, (M-SM) = 6, (ST-A) = 42

Laguna Negra

(d)
$$2n = 48$$
, **NF = 56**, (M–SM) = 8, (ST–A) = 40

La metapoblación podría representar las unidades de manejo en estos peces en peligro de extinción y las poblaciones de *C. charrua* de la cuenca de Laguna Merin podrían incluirse en un programa de conservación de alta prioridad



Caracterizar los límites de 2 especies en la zona híbrida en la **Reserva de la Biosfera y Sitios Ramsar**

Microsatélites

Hydrobiologia

https://doi.org/10.1007/s10750-019-04104-0

PRIMARY RESEARCH PAPER

Characterization of a hybrid zone between two annual killifish genus Austrolebias from the Biosphere Reserve and Ramsar Sites in South America

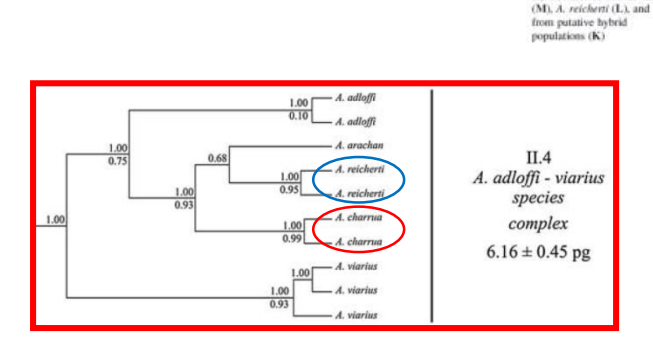
Graciela García • Verónica Gutiérrez · Néstor Ríos · Nicolás Papa · Sebastián Serra · Marcelo Loureiro

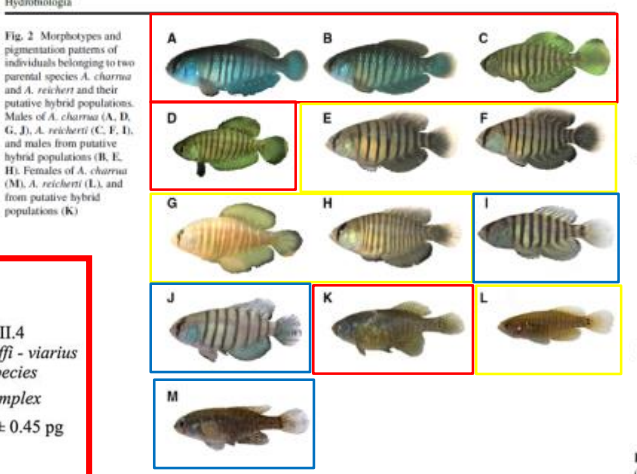
Zona híbrida entre A. charrua y A. reicherti.

Fig. 2 Morphotypes and pigmentation patterns of

and A. reichert and their

and males from putative





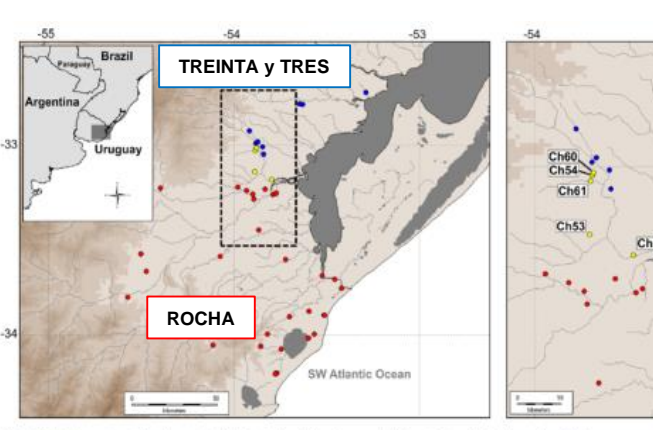


Fig. 1 Collecting sites of A. charrua (red circles), A. reicherti (blue circles), and hybrid populations (vellow circles) in the Dos Patos-Merin drainage system (DMS), in South America. In the

right box the five hybrid ponds and the contact zone between both taxa are indicated



Caracterizar los límites de 2 especies en la zona híbrida en la Reserva de la Biosfera y Sitios Ramsar

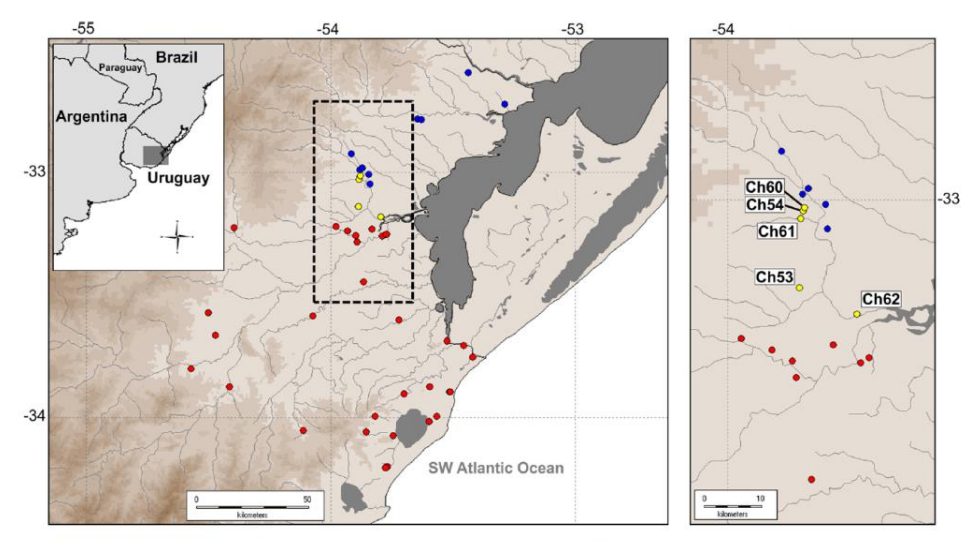


Fig. 1 Collecting sites of *A. charrua* (red circles), *A. reicherti* (blue circles), and hybrid populations (yellow circles) in the Dos Patos-Merin drainage system (DMS), in South America. In the

right box the five hybrid ponds and the contact zone between both taxa are indicated

- Zona híbrida entre A. charrua y A. reicherti.
- Caracterizar los **límites de las especies** en la zona híbrida y probar los mecanismos subyacentes a los eventos de introgresión y contacto secundario entre ambos taxones.
- Marcadores nucleares: 7 loci de microsatélites (*)
- Marcador mitocondrial: Cytb
- Marcadores morfológicos



En 2014...

Conservation Genet Resour DOI 10.1007/s12686-014-0266-9

MICROSATELLITE LETTERS

Isolation and characterization of eight microsatellites from the South American annual fish *Austrolebias charrua*

Verónica Gutiérrez · Silvana Pereyra · Néstor Ríos · Graciela García

Received: 13 June 2014/Accepted: 7 July 2014 © Springer Science+Business Media Dordrecht 2014

Locus	Accession no.	Repeat motif	Primer sequence (5'-3')	Temp. annealing (°C)	No. of alleles per locus	Size range (bp)	HE	H'
Ach-1	KJ938493	(GATA) ₅	F: ACACGCTGGAGAGACTATGT	62	14 (4)	208-246 (219-237)	0.92 (0.79)	2.39 (1.26
			R: TTCATGACCTTGCAGTAGATT					
Ach-2 KJ	KJ938494	(AGAT)79	F: TTTAACTTTTGGAGTCTGTCC	51	9 (2)	368-452 (388-402)	0.65 (0.25)	1.45 (0.38
			R: CTTTTATGTACATTGGACTCTGA					
Ach-3 KJ938495	KJ938495	(GGAT) ₈	F: CCTCCTTACTTAGGCTGCTAC	54	9 (4)	132-198 (128-152)	0.85 (0.50)	1.90 (1.07)
			R: ATCTGTGAGGTGGACAGATTA					
Ach-4 KJ93849	KJ938496	(AAG)20	F:AGTGAGGTGGAGGAAGATT AC	49	12 (2)	88-189 (114-123)	0.80 (0.25)	1.93 (0.38
			R: GAAGCAGCCAAAAATAAAAA					
Ach-5	KJ938497	$(GT)_6$	F: TCTTTATTTCACATTGGATGC	58	7 (2)	110-126 (110-112)	0.79 (0.57)	1.63 (0.69)
			R: TGGTGGTGATATTTTTAGGG					
Ach-6	KJ938498	(GT) ₈₀	F:CA AAAACAGACCTCACGAATA	50	10 (3)	240-276 (272-275)	0.70 (0.80)	1.57 (1.09)
			R: GAGAATGAGCTGTGAGTTGTC					
Ach-7	KJ938499	(TG) ₂₂	F:GGAATCAGGATAGTTCTGTCA	50	8 (3)	105-140 (112-132)	0.77 (0.73)	1.64 (1.01)
			R: CTGTTGAAATCACTTGTCCAT					
Ach-8	KJ938500	(ATGG) ₄	F: GCCTCCCTACTTAGGCTACTA	51	6 (2)	180-315 (278-196)	0.66 (0.54)	1.31 (0.66)
			R:CAAACAGAATGTCACTTGTGC					



Caracterizar los límites de 2 especies en la zona híbrida en la Reserva de la Biosfera y Sitios Ramsar

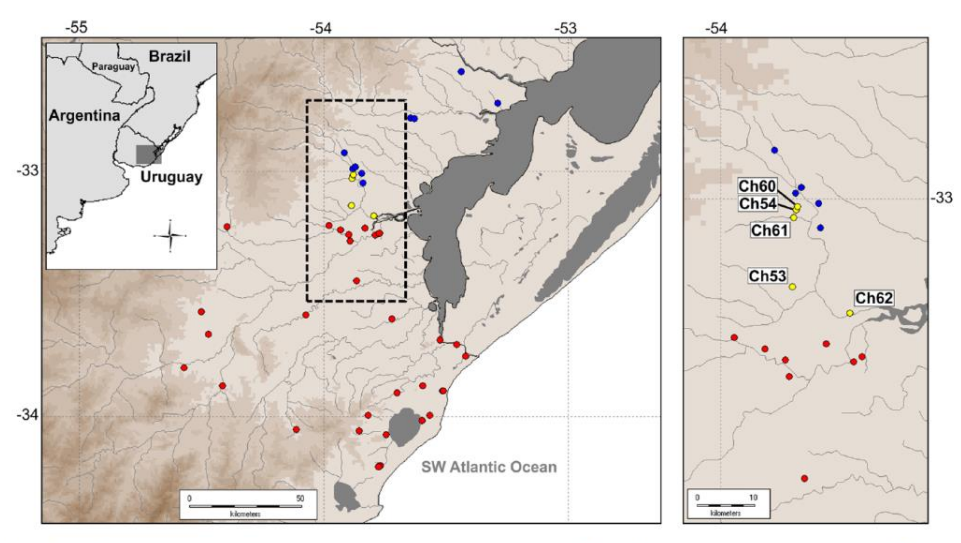


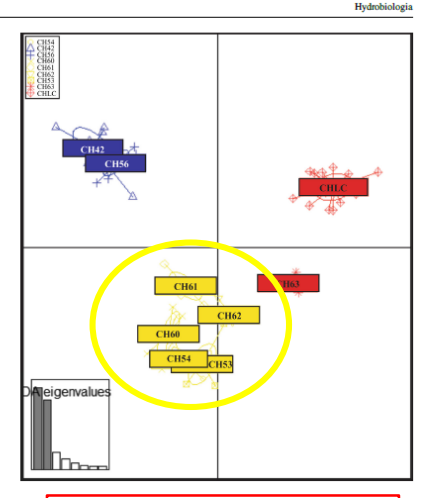
Fig. 1 Collecting sites of *A. charrua* (red circles), *A. reicherti* (blue circles), and hybrid populations (yellow circles) in the Dos Patos-Merin drainage system (DMS), in South America. In the

right box the five hybrid ponds and the contact zone between both taxa are indicated

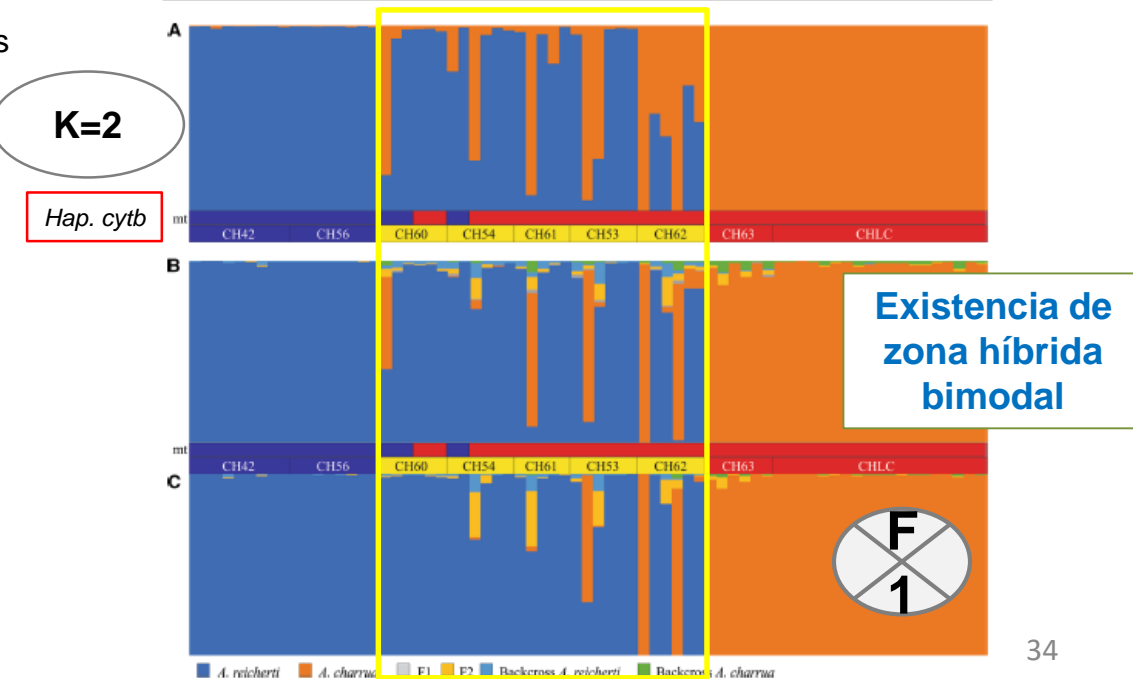
Hydrobiologia

Análisis discriminante de Componentes Principales

Fig. 3 DAPC. Scatter plot of DAPC (Sombart et al. and the plant of the



5 pobl. híbridas



Tamaño GENOMICO



Primera estimación del tamaño genómico de varias especies del género "Austrolebias"

Genetica (2014) 142:87–98 DOI 10.1007/s10709-014-9756-7

Burst speciation processes and genomic expansion in the neotropical annual killifish genus *Austrolebias* (Cyprinodontiformes, Rivulidae)

G. García · V. Gutiérrez · N. Ríos ·

B. Turner · F. Santiñaque · B. López-Carro ·

G. Folle

Tamaño GENOMICO



Primera estimación del tamaño genómico de varias especies del género "Austrolebias"

- 29 especies de *Austrolebias*
- Cynopoecilus melanotaenia
- 33 charcos
- Cuenca de los ríos Uruguay- Paraná-Paraguay, Río Negro
- Lagunas costeras del este
- Cuencas de la costa atlántica de Uruguay y el sur de Brasil.

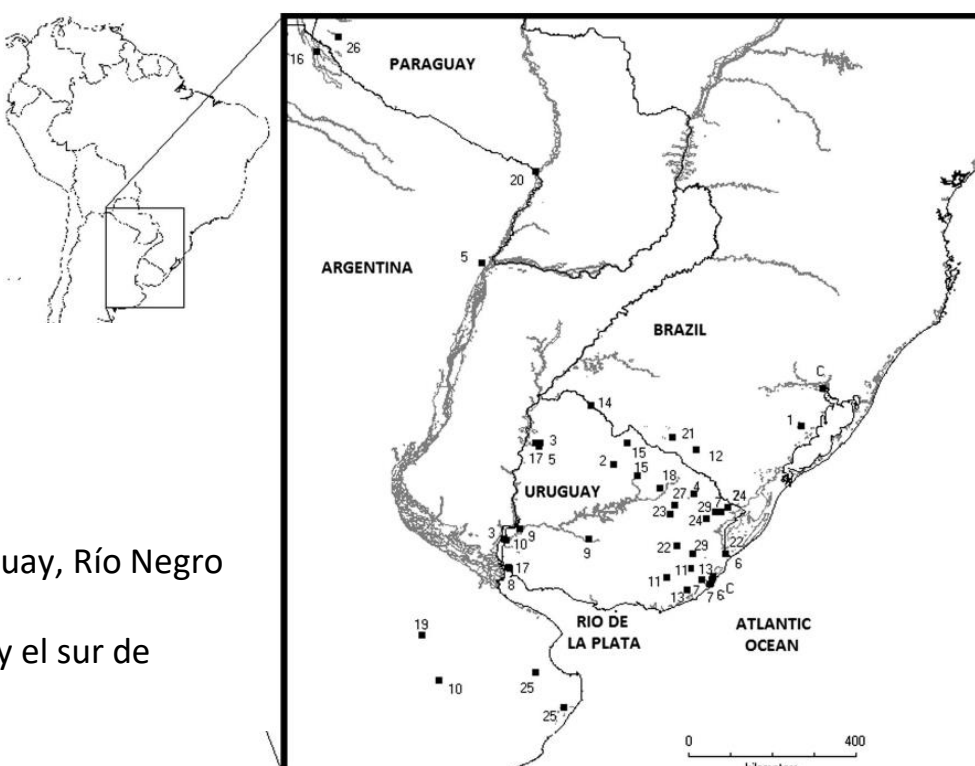


Fig. 1 Distribution map of collection sites for Austrolebias species and Cynopoecilus melanotaenia from natural populations. 1. A. adloffi, 2. A. affinis, 3. A. alexandri, 4. A. arachan, 5. A. bellottii, 6. A. charrua, 7. A. cheradophilus, 8. A. cinereus, 9. A. duraznensis, 10. A. elongatus, 11. A. gymnoventris, 12. A. juanlangui, 13. A.

luteoflammulatus, 14. A. luzardoi, 15. A. melanoorus, 16. A. monstrosus, 17. A. nigripinnis, 18. A. nioni, 19. A. nonoiuliensis, 20. A. patriciae, 21. A. periodicus, 22. A. prognathus, 23. A. quirogai, 24. A. reicherti, 25. A. robustus, 26. A. vandenbergi, 27.A. vazferreirai, 28. A. viarius, 29. A. wolterstorffi, C. Cynopoecilus melanotaenia

3. Abordajes genéticos

Tamaño GENOMICO



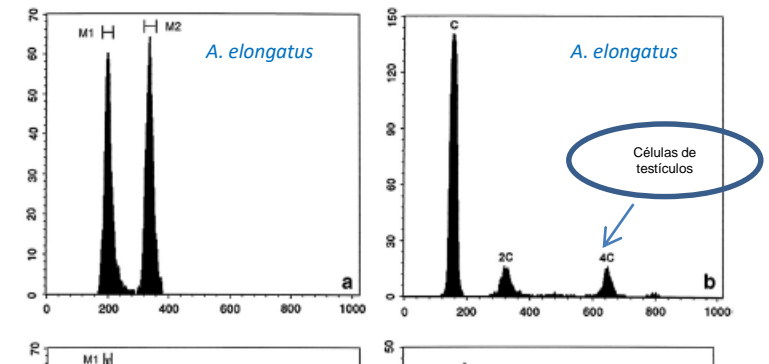
Primera estimación del tamaño genómico de varias especies del género "Austrolebias"

Cynopoecilus melanotaenia

Estimación del contenido de ADN celular mediante citometría de flujo

A. affinis

Fig. 2 Flow cytometric DNA content determinations from liver cells of the different Austrolebias species complexes and Cynopoecilus melanotaenia (M2). The 2C peak corresponds to the M2 marker in liver cells. Zebrafish (Danio rerio) DNA content (mean 3.48 pg) was used as control (M1). a A. elongatus (5.83 pg); b DNA content of testicular cells analyzed in A. elongatus: C (M1), 2C (M2) and 4C testis cell subpopulations. c A. affinis (5.87 pg). d A. charrua (6.23 pg). e A. wolterstorffi (5.39 pg). f C. melanotaenia (2.63 pg)





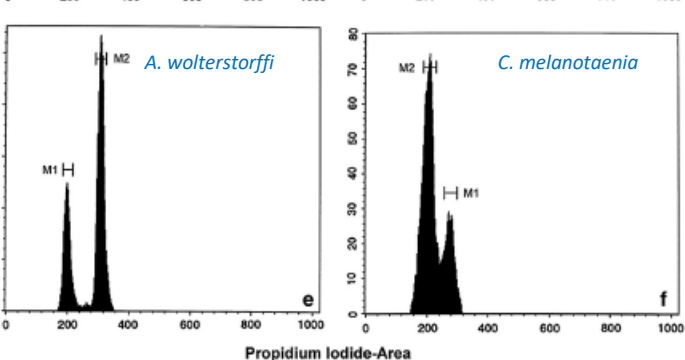
8

62 inds. diploides (16 spp. de *Austrolebias*)

8 8 1000

A. charrua

Valor promedio de $5,95 \pm 0,45 pg \text{ (media } \pm SE)$ de ADN por célula



3. Abordajes genéticos

Tamaño GENOMICO



Primera estimación del tamaño genómico de varias especies del género "Austrolebias"

Table 1 Average of DNA content (mean \pm SE) in each *Austrolebias* species and *C. melanotaenia* determined by flow cytometry

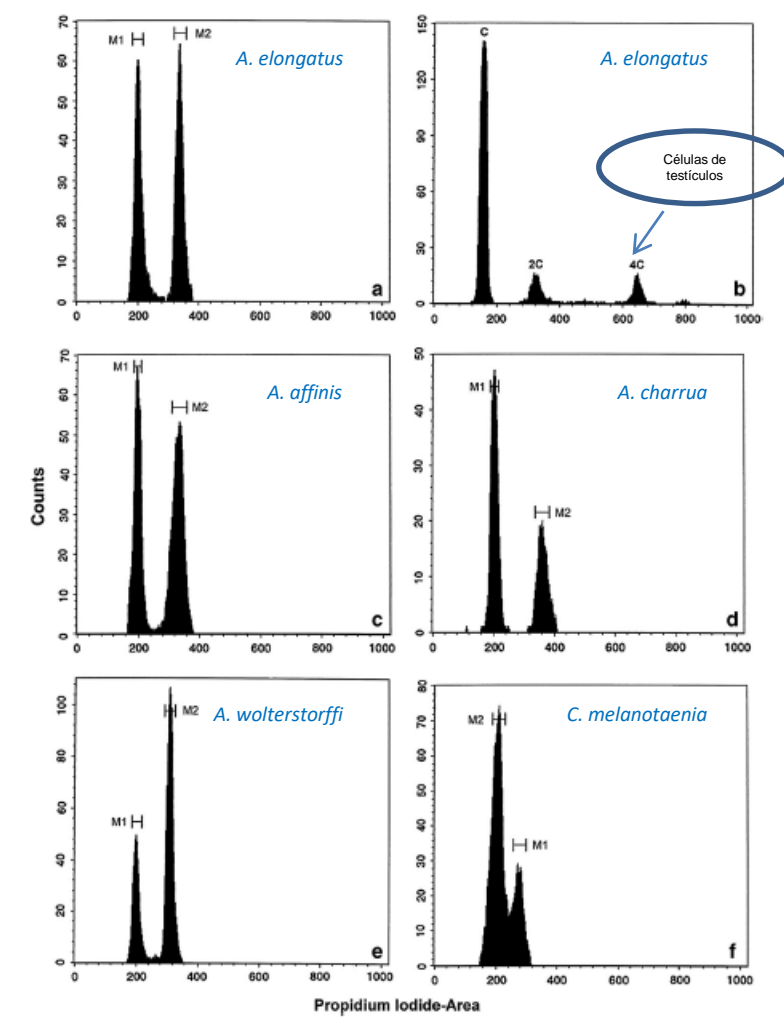
Species	2C DNA content (pg)	2n	NF
A. affinis + A. duraznensis	5.88 ± 0.35 (7)	48 ^a	52ª
A. alexandrii	5.23 ± 0.15 (3)	48 ^a	58 ^a
A. charrua	6.13 ± 0.32 (4)	48 ^{e,d}	52 ^{e,d}
A. cheradophilus	6.01 ± 0.46 (3)	39 ^f	48^{f}
A. cinereus	5.61 ± 0.04 (1)	44 ^b	50 ^b
A. elongatus	6.02 ± 0.34 (5)	42 ^h	50 ^h
A. gymnoventris	5.47 ± 0.16 (6)	48 ^a	62 ^a
A. luteoflammulatus	6.17 ± 0.41 (8)	34 ^e	48 ^e
A. melanoorus	5.61 (1) ⁺	48 ^b	50 ^b
A. nigripinnis	5.63 ± 0.45 (2)	$48^{g,e}$	62 ^{g,e}
A. prognathus	6.97 ± 0.18 (2)	36e	52e
A. quirogai	6.31 ± 0.10 (3)	34 ^h	52 ^h
A. reicherti	6.40 ± 0.03 (4)	$48^{c,d}$	52 ^{c,d}
A. vazferreirai	5.74 ± 0.06 (2)	46 ^b	50 ^b
A. viarius	5.95 ± 0.20 (4)	46 ^e	50e
A. wolterstorffi	5.55 ± 0.12 (5)	46 ^e	50 ^e
C. melanotaenia	2.72 ± 0.06 (2)	44 ^{g,f}	76 ^{g,f}

The number of analyzed specimens is indicated between brackets. 2n: chromosome number; NF: arm number

^a García et al. (1995), ^b García et al. (2001), ^c Loureiro and García (2004), ^d García et al. (2006), ^e García et al. (1993), ^f Máspoli and García (1988), ^g Scheel (1972), ^h present work. ⁺ Only one flow cytometry estimation was obtained

Estimación del contenido de ADN celular mediante citometría de flujo

Fig. 2 Flow cytometric DNA content determinations from liver cells of the different Austrolebias species complexes and Cynopoecilus melanotaenia (M2). The 2C peak corresponds to the M2 marker in liver cells. Zebrafish (Danio rerio) DNA content (mean 3.48 pg) was used as control (M1). a A. elongatus (5.83 pg); b DNA content of testicular cells analyzed in A. elongatus: C (M1), 2C (M2) and 4C testis cell subpopulations. c A. affinis (5.87 pg). d A. charrua (6.23 pg). e A. wolterstorffi (5.39 pg). f C. melanotaenia (2.63 pg)



3. Abordajes genéticos

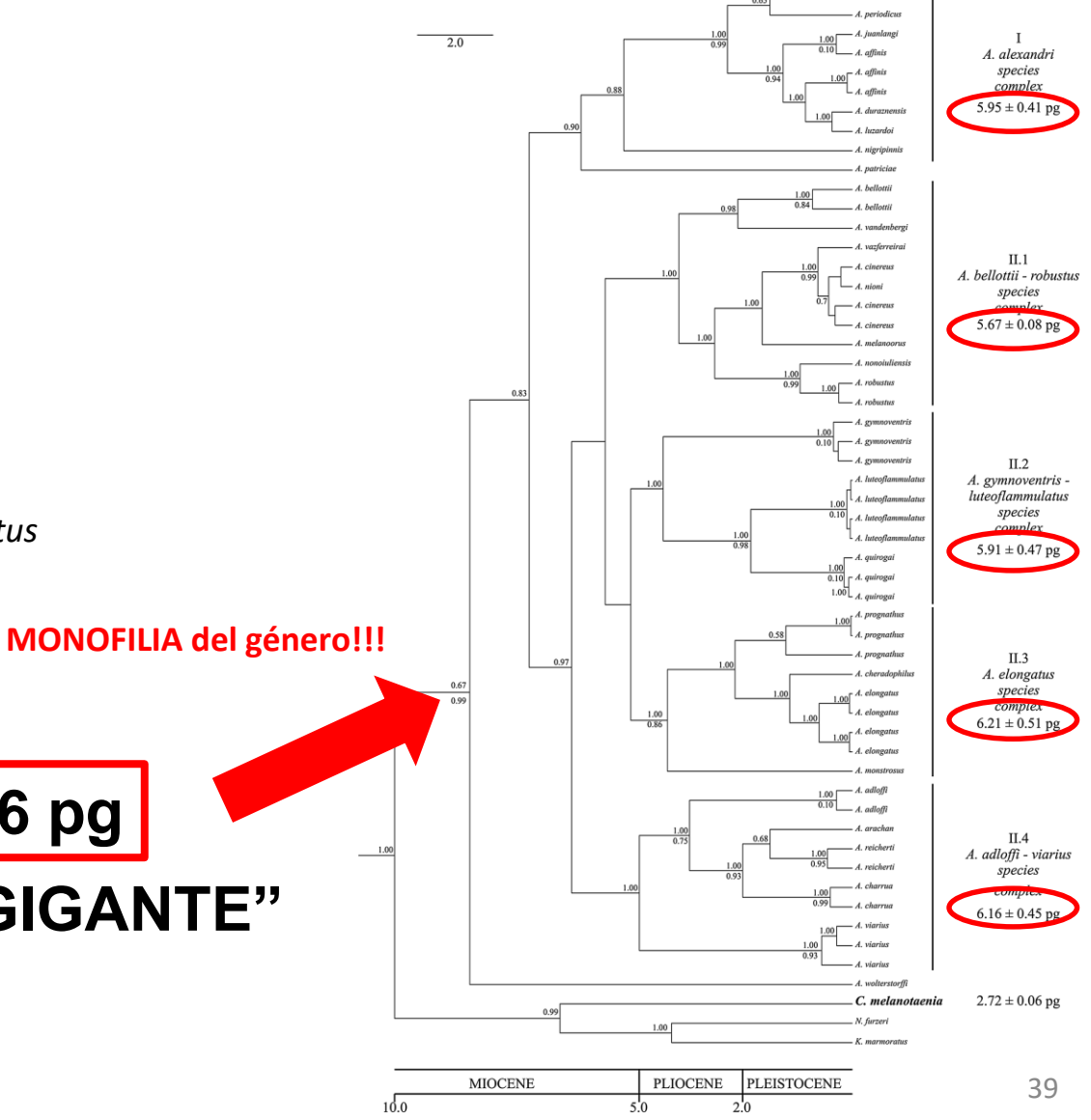
2014

Primera estimación del tamaño genómico de varias especies del género "Austrolebias"

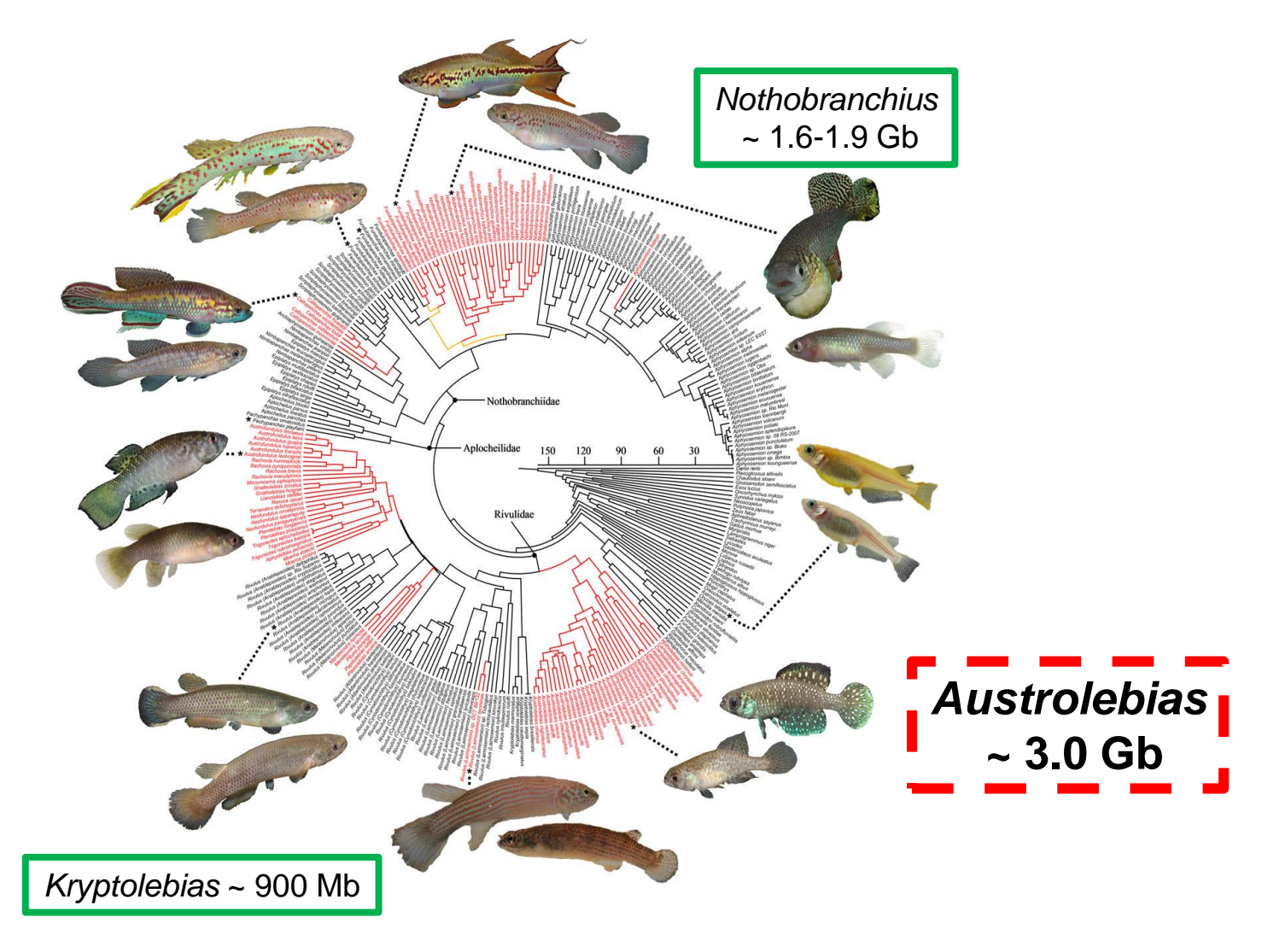
- 55 secuencias cyt-b
- Grupo externo:
 - ✓ C. melanotaenia, K. marmoratus
 - Nothobranchius furzeri
- Análisis: MP / Bayesiano / ML

2C ~ 6 pg "GENOMA GIGANTE"

Tamaño GENOMICO



En otros Rivúlidos...



Pohl et al. (2015)

4. Abordajes Genómicos



Exploración del origen del genoma gigante mediate NGS

Genetica (2015) 143:353–360 DOI 10.1007/s10709-015-9834-5



Next-generation sequencing detects repetitive elements expansion in giant genomes of annual killifish genus *Austrolebias* (Cyprinodontiformes, Rivulidae)

G. García¹ · N. Ríos¹ · V. Gutiérrez¹

454 GS FLX Titanium technology (Macrogen, Korea)

Table 1 Cytogenetics, genomic and sequencing features of the Rivulidae studied species

Species	Austrolebias charrua	Cynopoecilus melanotaen
Chromosome number (2n)	48	44
1C value (pg)	3.07	1.36
Genome size (Gb)	3.0	1.33
Sequenced read number	134,390	141,218
Total read length (Mb)	47.6	55.1
454-Pyrosequencing genome coverage (%)	1 %	1.8 %
Repetitive DNA cluster number	364	151

4. Abordajes Genómicos



Exploración del origen del genoma gigante mediate NGS

El ensamblaje de la secuencia repetida se realizó utilizando RepeatExplorer (http://repeatexplorer.umbr.cas.cz/)

ADN moderadamente repetido:

• A. charrua: ~ 45%.

• C. melonataenia: ~ 25%.

Corroboró la hipótesis de **expansión genómica** mediante invasión masiva de diferentes tipos de elementos transponibles (ETs)

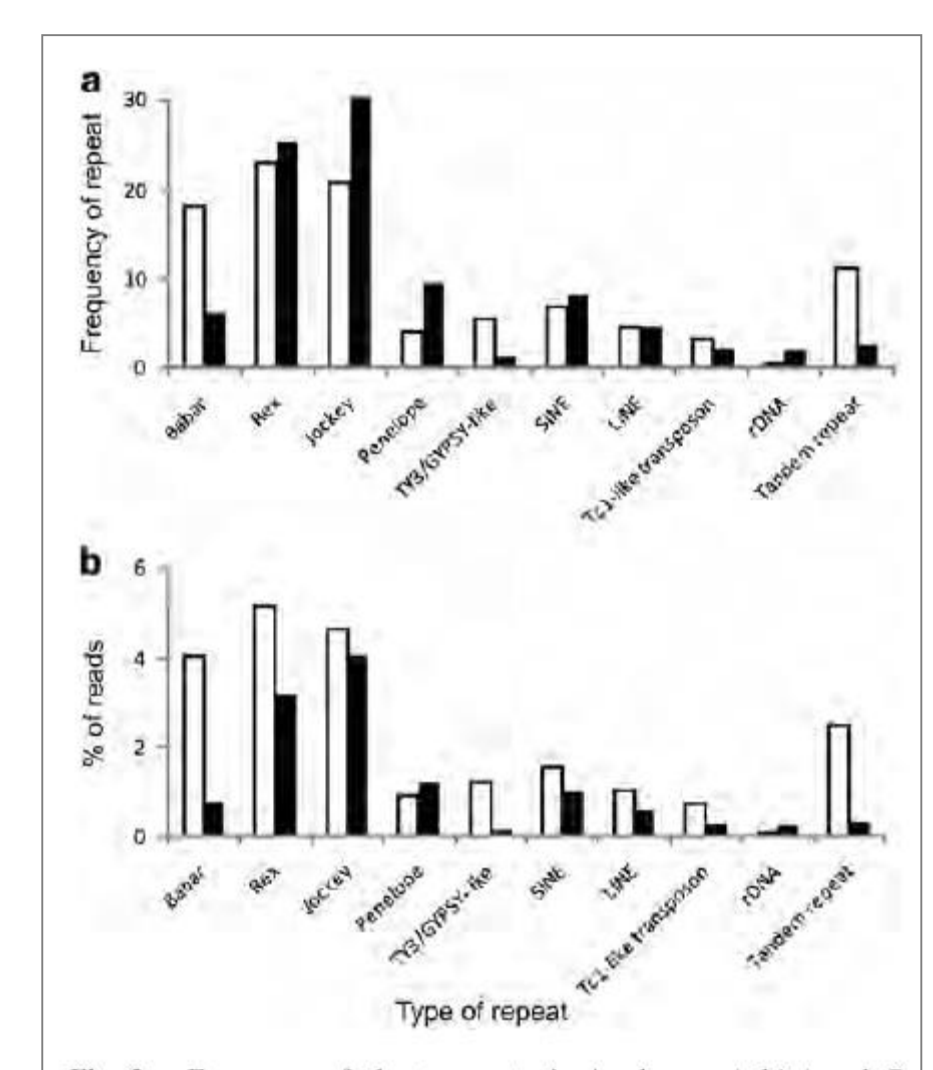


Fig. 2 a Frequency of cluster repeats in A. charrua (white) and C. melanotaenia (black). b Repeat abundance based on 454 reads clustered using RepeatExplorer in A. charrua (white) and C. melanotaenia (black)

42

4. Abordajes Genómicos









UNIVERSIDAD DE CHILE

Sección Biología Celular

Gajardo et al. (2025) EN REVISIÓN

Genoma Transcriptoma

http://genetica.fcien.edu.uy

Manuscritp
Click here to view linked References

1
2
3
2
A recent and rapid genome expansion driven by the amplification
5
6
3
of transposable elements in the Neotropical annual killifish
7
8
9
4
Garcialebias charrua
1
1
1
2
5
1
3
1
4
6
Gajardo F¹², Valdivieso C¹², Di Genova A¹³, Pereiro L¹², Arezo MJ⁴, Nardocci G¹⁵, Rojas
1
6
7
N¹³, Gutiérrez V⁵¹, Papa NG⁴, Berois N⁴, Orellana A¹³, Gutiérrez RA¹³, González M¹³,
1
8
1
9
Mendez MA¹², Montecino M¹⁵, Hodar C¹⁵, Glavic A¹², Maass A¹³, García G⁶⁵, Allende
20
21
9
ML¹²-†.



Descubrimiento y validación de SNP basados en el transcriptoma en la zona híbrida





Article

Transcriptome-Based SNP Discovery and Validation in the Hybrid Zone of the Neotropical Annual Fish Genus *Austrolebias*

Graciela García ^{1,*,†}, Néstor Ríos ¹, Verónica Gutiérrez ¹, Sebastián Serra ^{1,2,3} and Marcelo Loureiro ^{2,3}

Zona híbrida entre A. charrua y A. reicherti.

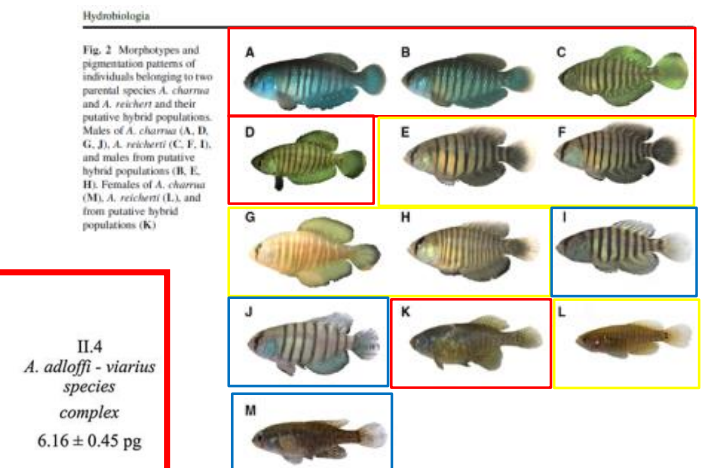




Figure 1. Geographic distribution of taxa in the hybrid zone. *A. charrua* (red area), *A. reicherti* (blue area) and hybrid populations (yellow areas) in the Dos Patos-Merin drainage system (DMS), South America. In the right-hand box, the hybrid ponds in the contact zone between both taxa are indicated.



Descubrimiento y validación de SNP basados en el transcriptoma en la zona híbrida

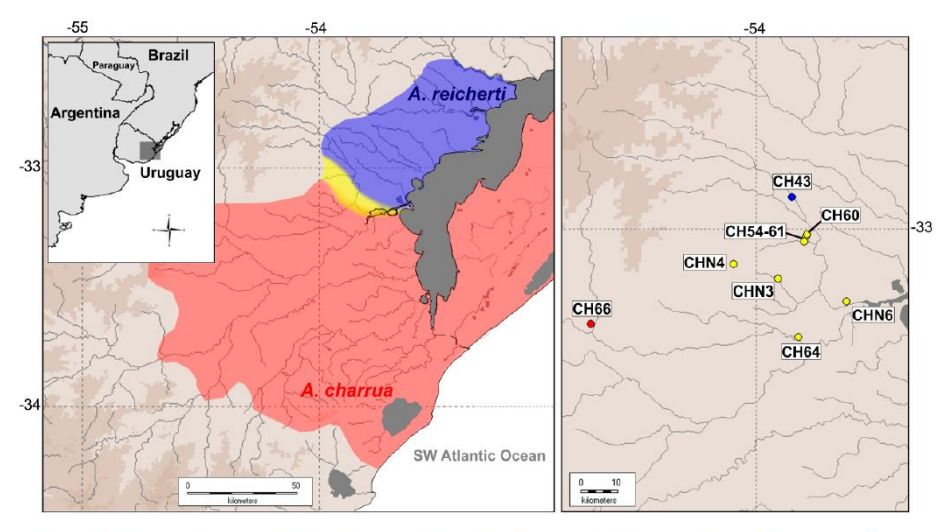


Figure 1. Geographic distribution of taxa in the hybrid zone. *A. charrua* (red area), *A. reicherti* (blue area) and hybrid populations (yellow areas) in the Dos Patos-Merin drainage system (DMS), South America. In the right-hand box, the hybrid ponds in the contact zone between both taxa are indicated.

- Zona híbrida entre A. charrua y A. reicherti.
- Probar los mecanismos subyacentes a los eventos de introgresión y contacto secundario entre ambos taxa.
- Obtención de más marcadores nucleares para respaldar el patrón bimodal de la zona híbrida.
- Marcadores morfológicos
- Marcadores nucleares: sec. de los transcriptomas (RNA-seq) de A. charrua, híbridos naturales y A. reicherti
- Marcador mitocondrial: Cytb



Descubrimiento y validación de SNP basados en el transcriptoma en la zona híbrida

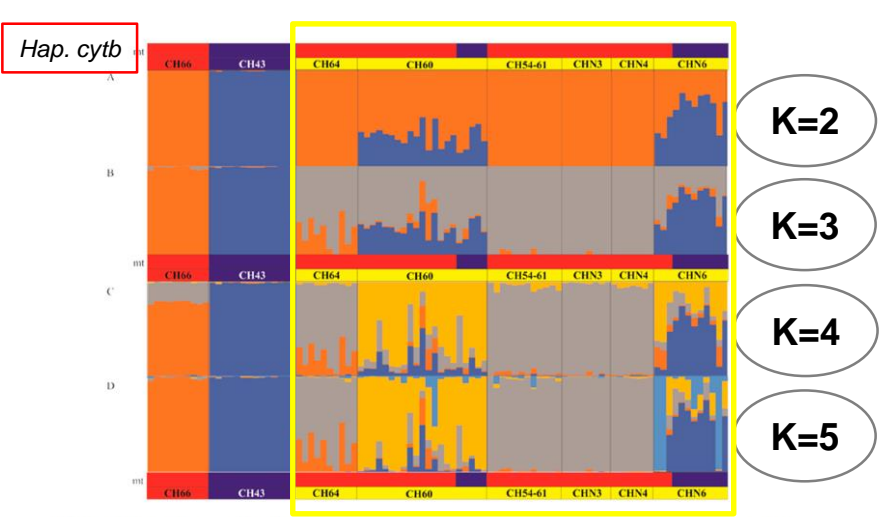


Figure 3. Individual assignment results using STRUCTURE software based on 103 loci. (A) K = 2; (B) K = 3, (C) K = 4 and (D) K = 5. Admixture analyses showing the proportion of the genome of each individual originated from A. Charrua or A. Teicherti. Each individual is represented as a vertical bar divided into segments representing the proportion of the genome corresponding to A. Charrua (red) or A. Teicherti (blue). Populations are labeled above the bar plots; mt bars: represent the Cytb haplotype assignation of each individual to A. Charrua (red) or A. Teicherti (blue) species.

> 103 marcadores SNP

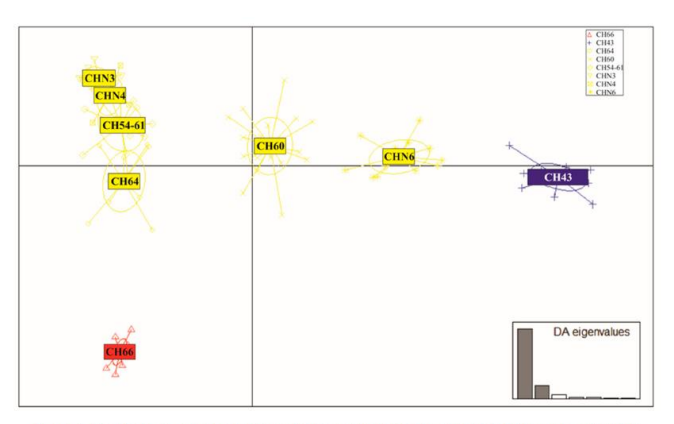


Figure 2. Discriminant analysis of principal components (DAPC) scatter plots [36] based on 103 SNP loci for eight populations of the parental species A. charrua and A. reicherti and putative hybrid ponds. Populations are shown by colours: A. charrua (red), A. reicherti (blue), hybrid populations (yellow) and 95% inertia ellipses, squares represent individual genotypes. Axes show the first two discriminant functions, and eigenvalues the genetic information retained by discriminant functions.

SNPs + *Cytb* + morfología: revelaron una **estructura poblacional** en la que algunos **híbridos** presentan un nivel diferente de **introgresión** hacia una u otra especie parental según su distribución geográfica.



2023-2025)

Ciencias Ciencias Coppetiti ANDREA	1250000,00
anual sudamericano Austrolebias charrua	

OBJETIVO GENERAL:

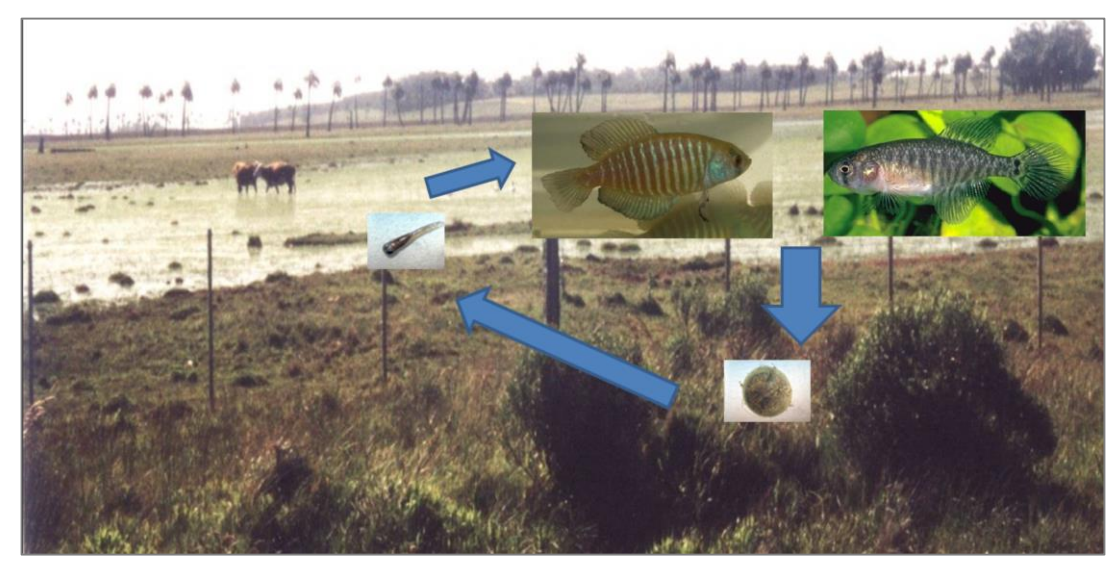
Contribuir al conocimiento de las claves moleculares asociadas a las diapausas y envejecimiento de los vertebrados mediante la identificación de genes y vías de regulación de la homeostasis en condiciones ambientales controladas en ambas etapas del ciclo de vida de *A. charrua*.

OBJETIVOS ESPECÍFICOS

- 1. Obtener los transcriptomas del tejido branquial y hepático de juveniles y seniles de A. charrua.
- 2. Obtener un transcriptoma de referencia mediante el ensamble *de novo* de secuencias embrionarias y de tejidos adultos (juveniles y seniles).
- 3. Identificar genes con expresión diferencial entre cada tejido (branquial y hepático) de juveniles y seniles de A. charrua.
- 4. Establecer la presencia de genes encendidos y/o apagados y vías regulatorias compartidas entre embriones en diapausa I y los tejidos de individuos seniles de *A. charrua*.
- 5. Corroborar los resultados obtenidos en el punto anterior mediante amplificación en tiempo real (qPCR) de los principales genes expresados en ambas etapas.
- 6. Analizar los tipos de selección actuando sobre los genes candidatos identificados en ambas etapas de la ontogenia.

Reflexión final

Los estudios sobre los peces anuales son multidisciplinarios, con un enfoque especial en cómo las especies responden al cambio climático, la contaminación y la fragmentación de sus hábitats



García et al. (2022)

